

Fachbereich Nukleare Entsorgung und Transport

Strahlungsmessungen an Transportund Lagerbehältern zur Beförderung von hochaktiven Glaskokillen aus der Wiederaufarbeitung und von bestrahlten Brennelementen

Frank-Michael Börst Arndt Rimpler Helmut Scheib

BfS-ET-32/00



Fachbereich Nukleare Entsorgung und Transport

Strahlungsmessungen an Transportund Lagerbehältern zur Beförderung von hochaktiven Glaskokillen aus der Wiederaufarbeitung und von bestrahlten Brennelementen

Frank-Michael Börst Arndt Rimpler Helmut Scheib

BfS-ET-32/00

Inhaltsverzeichnis

		Seite
1.	Einleitung	. 5
2.	Beschreibung der Transport- und Lagerbehälter	. 6
	2.1. Transport- und Lagerbehälter TS 28 V	. 8
3.	Behälterinventare	10
4.	Messbedingungen und Messtechnik	11
	4.1. Messgeräte für die Messung der Neutronendosisleistung 4.2. Messgeräte für die Messung der Gammadosisleistung	
5.	Messergebnisse und Diskussion	15
	5.1. Axiale Verteilung der Dosisleistung ("Höhenprofil")	19 20 21 22
6.	Zusammenfassung	28
Liter	ratur	
Tab	ellen	
Anla	agen	

Anlage 1: Behälterinventare Anlage 2: Messprotokolle

1. Einleitung

Die Aufbewahrungsgenehmigung für das Transportbehälterlager Gorleben /1/ gestattet sowohl die Zwischenlagerung von bestrahlten Brennelementen (BE) in Transport- und Lagerbehältern der Typen CASTOR Ia, Ib, Ic, Ila und V/19 als auch die Aufbewahrung von Kernbrennstoffen in Form von verfestigten hochradioaktiven Spaltproduktlösungen (HAW-Glaskokillen) aus der Aufarbeitung bestrahlter Kernbrennstoffe in Transport- und Lagerbehältern des Typs CASTOR HAW-20/28-CG und des Typs TS 28 V.

In Fortführung früherer Untersuchungen an Transportbehältern für die Beförderung von bestrahlten Brennelementen, z.B. /2,3/, wurden nunmehr auch die Strahlungsfelder von mit Glaskokillen beladenen Transport- und Lagerbehältern TS 28 V und CASTOR HAW-20/28-CG im Transportbehälterlager Gorleben sowie eines mit Brennelementen beladenen Transport- und Lagerbehälters CASTOR V/19 im Gemeinschaftskraftwerk Neckar (GKN) untersucht.

Hierbei wurden folgende Ziele in den Vordergrund gestellt:

- Durchführung dosimetrischer Messungen am Behälter (Gamma- und Neutronendosisleistungsverteilung) mit handelsüblichen Messgeräten
- Ermittlung der Neutronenspektren an verschiedenen interessierenden Punkten
- Ermittlung von systematischen Messunsicherheiten von handelsüblichen Messgeräten für die Neutronendosisleistung

Im folgenden werden die Behälter sowie deren Inventare beschrieben und die Messergebnisse vorgestellt.

Eine Analyse dieser Resultate und deren radiologische Bewertung ist nicht Hauptgegenstand dieses Berichtes.

2. Beschreibung der Transport- und Lagerbehälter

Die nachfolgend beschriebenen Transport- und Lagerbehälter dienen im wesentlichen zum Antransport, zur Aufbewahrung in Zwischenlagern und dem Abtransport nach dem Ende der Zwischenlagerung. Allen Behälterbauarten liegen gleiche Schutzziele zugrunde:

- sicherer Einschluss des radioaktiven Inventars,
- ausreichende Abschirmung der vom Inhalt ausgehenden ionisierenden Strahlung,
- · Gewährleistung der sicheren Unterkritikalität und
- ausreichende Ableitung der durch den Inhalt erzeugten Wärme.

Sie gleichen sich hinsichtlich des Konstruktionsprinzips in Bezug auf Anordnung und Ausführung der sicherheitstechnisch relevanten Bauteile und Komponenten. Die Behälterbauarten unterscheiden sich voneinander durch an den jeweiligen Verwendungszweck (z.B. Beladung mit Brennelementen, Beladung mit HAW-Glaskokillen) angepasste Behälterbauweisen.

Schnitt A-A Deckelmoderatorplatte Sekundärdeckel Primärdeckel Primärdeckel Rippen Moderator Behälterkörper

2.1. Transport- und Lagerbehälter TS 28 V

Abbildung 1: Transport- und Lagerbehälter TS 28 V (Transportkonfiguration)

Der TS 28 V (Abbildung 1) besitzt als Grundkörper einen dickwandigen Hohlzylinder mit angeschweißtem Boden aus Schmiedestahl, der durch einen Primärdeckel und einem Sekundärdeckel jeweils aus Schmiedestahl mittels wird (Doppelbarrieren-System). Metalldichtungen dicht verschlossen Sekundärdeckel wird im Zwischenlager zum Schutz gegen mechanische Einwirkungen und gegen sonstige Umgebungseinflüsse mit einer Schutzplatte abgedeckt. Im Innenraum des Behälters befindet sich alternativ ein Einsatzkorb für die Aufnahme von 20 oder 28 HAW-Glaskokillen. Zur erforderlichen Neutronenabschirmung ist der Behälterkörper an der Außenseite mit als Moderator wirkenden Blöcken aus Polyethylen und Harz mit Borzusatz versehen, die von einem Stahlmantel umgeben sind. Im Deckel- und Bodenbereich sind Polyethylenplatten entsprechend angeordnet. Zur besseren Wärmeabfuhr ist der Behältermantel mit Aluminiumrippen versehen.

Bodenmoderatorplatte Stoßdämpfer

In der Transportkonfiguration ist der Behälter am Deckel und am Boden mit Stoßdämpfern ausgestattet, die vor der Zwischenlagerung entfernt werden. Der Behälter (Höhe 6202 mm, Durchmesser 2500 mm) hat in der Transportkonfiguration, beladen mit 28 HAW-Glaskokillen eine Gesamtmasse von ca. 116 t /4/.

2.2. Transport- und Lagerbehälter CASTOR HAW-20/28-CG

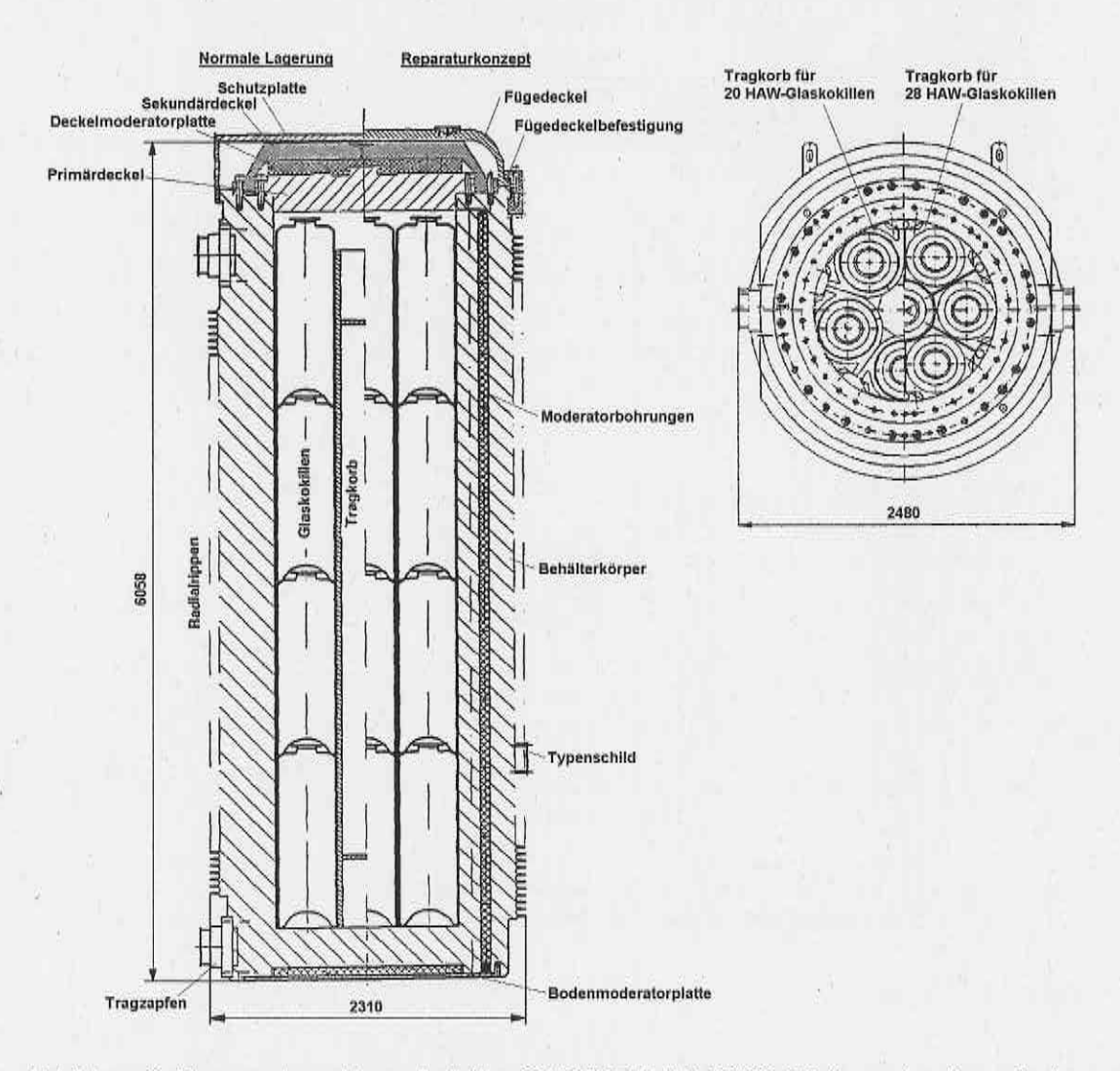


Abbildung 2: Transport- und Lagerbehälter CASTOR HAW-20/28-CG (Lagerkonfiguration)

Der CASTOR HAW-20/28-CG (Abbildung 2) besteht aus einem dickwandigen, zylindrischen Behälterkörper mit Radialrippen, der mit einem Primärdeckel und einem Sekundärdeckel mit der jeweils zugehörigen Verschraubung und Dichtung dicht verschlossen wird. Im Zwischenlager wird der Sekundärdeckel wiederum durch die Schutzplatte abgedeckt. Der Behälterkörper ist aus Gusseisen mit Kugelgraphit GGG 40 gefertigt und die beiden Deckel aus Baustahl oder alternativ Edelstahl. Als Neutronenabschirmung dienen Polyethylen-Stäbe in der Wandung des Behälterkörpers sowie Polyethylen-Platten im Deckel- und Bodenbereich. Im Innenraum befindet sich wie auch beim TS 28 V alternativ ein Einsatzkorb für die Aufnahme von 20 oder 28 HAW-Glaskokillen. In der Transportkonfiguration ist der Behälter am Deckel und am Boden mit Stoßdämpfern ausgestattet, die vor der Zwischenlagerung entfernt werden. Der Behälter (Höhe 6058 mm, Durchmesser 2310 mm) hat in der Transportkonfiguration, beladen mit 28 HAW-Glaskokillen eine Gesamtmasse von ca. 115 t /5/.

2.3. Transport- und Lagerbehälter CASTOR V/19

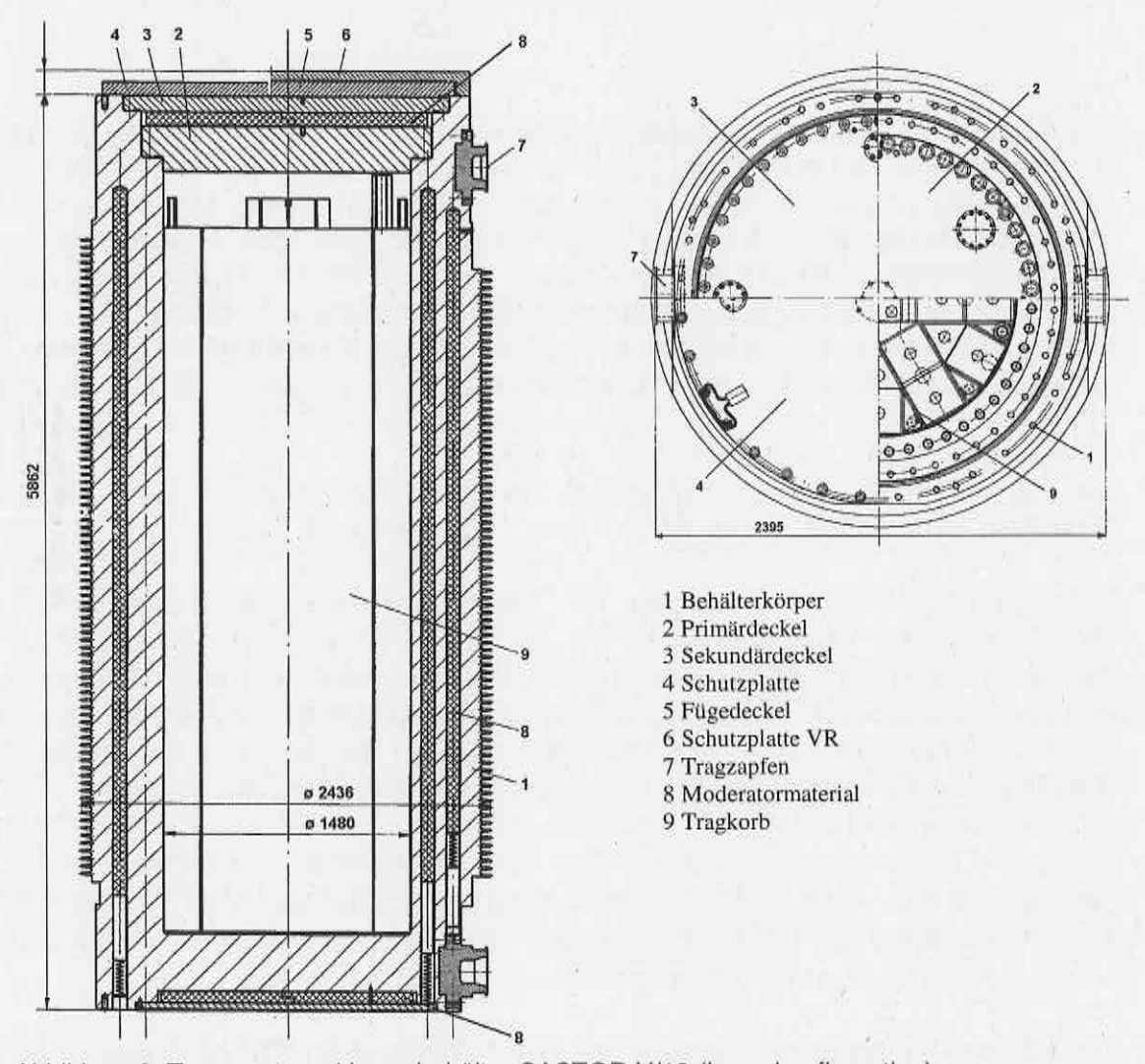


Abbildung 3: Transport- und Lagerbehälter CASTOR V/19 (Lagerkonfiguration)

Der Aufbau des CASTOR V/19 (Abbildung 3) ist dem des CASTOR HAW-20/28sehr ähnlich. Er besteht aus einem dickwandigen. CG zvlindrischen Behälterkörper mit Radialrippen, der mit einem Primärdeckel und einem Sekundärdeckel mit der jeweils zugehörigen Verschraubung und Dichtung dicht verschlossen wird, sowie der während der Zwischenlagerung verwendeten Schutzplatte. Der Behälterkörper ist aus Gusseisen mit Kugelgraphit GGG 40 gefertigt und die beiden Deckel aus Edelstahl. Als Neutronenabschirmung dienen Polyethylen-Stäbe in der Wandung des Behälterkörpers sowie Polyethylen-Platten Bodenbereich und an der Unterseite des Sekundärdeckels. Behälterinnenraum befindet sich ein Tragkorb, der im wesentlichen aus 19 Borstahlschächten zur Aufnahme der Brennelemente und parallel zu den Bohrstahlblechen angeordneten Aluminium-Wärmeleitblechen besteht. Transportbehälter ist mit Deckel- und Bodenstoßdämpfern ausgerüstet, die vor der Zwischenlagerung entfernt werden. Der Behälter (Höhe 5862 mm, Durchmesser 2436 mm) hat in der Transportkonfiguration, beladen mit 19 bestrahlten Brennelementen eine Gesamtmasse von ca. 136 t /6/.

3. Behälterinventar

Für die qualitative und quantitative Zusammensetzung des Strahlungsfeldes in der Umgebung von Transport- und Lagerbehältern sind nicht nur die Gesamtaktivität und Neutronenquellstärke des Inventars, sondern auch dessen räumliche Verteilung maßgeblich. Während die HAW-Glaskokillen eine nahezu homogene Quelle darstellen, besitzen Brennelemente aufgrund der Neutronenflussverteilung im Reaktor ein ausgeprägtes Abbrandprofil mit maximalem Abbrand in der BE-Mitte. Dies lässt zwangsläufig eine deutliche axiale Verteilung der Gamma- und Neutronendosisleistung am Behältermantel erwarten. Hinzu kommen Inhomogenitäten infolge von Aktivierungsprodukten (60°Co) in den aus Stahl bestehenden Kopf- und Fußstücken der BE.

Das Gammastrahlungsfeld wird jedoch hauptsächlich bestimmt durch die Spaltprodukte ¹³⁷Cs/^{137m}Ba, ¹³⁴Cs, ¹⁰⁶Ru/¹⁰⁶Rh, ¹⁴⁴Ce/¹⁴⁴Pr und ¹⁵⁴Eu.

Ursache der Neutronenstrahlung an Transportbehältern sind zum einen die Spontanspaltung des Nuklids 244 Cm und zum anderen (α ,n)-Reaktionen an Elementen mit niedriger Massenzahl. Bei Brennelementen ist dies der Sauerstoff im UO₂, insbesondere das Isotop 18 O. In HAW-Glaskokillen sind neben Sauerstoff insbesondere 12 bis 15 % Bor enthalten, das die thermische und mechanische Stabilität des Glases verbessert. Gegenüber Sauerstoff besitzt das Isotop 10 B, das im natürlichen Bor zu 19,7 % enthalten ist, eine um 2 bis 3 Größenordnungen höhere (α ,n)-Neutronenausbeute. Dies bedingt, dass an HAW-Behältern (α ,n)-Reaktionen mit etwa 50% zur gesamten Neutronenemission beitragen. Für hochabgebrannte BE (\geq 30 GWd/t_{SM}) und Abklingzeiten \geq 2 Jahre ist der Beitrag von (α ,n)-Reaktionen wesentlich geringer (5 %...10 %) /2,7/.

Die beiden eingelagerten Behälter für HAW-Glaskokillen TS 28 V und CASTOR HAW-20/28-CG sind jeweils mit 28 Kokillen aus der Wiederaufarbeitung beladen. Im CASTOR V/19 befinden sich 19 bestrahlte Brennelemente aus dem Gemeinschaftskraftwerk Neckar.

In der Anlage 1 sind die relevanten Daten für die einzelnen Behälter angegeben.

4. Messbedingungen und Messtechnik

Die Messungen an den Behältern TS 28 V und CASTOR HAW-20/28-CG erfolgten im Transportbehälterlager Gorleben. Die Behälter befanden sich dabei in der sog. Lagerkonfiguration. Die Messungen am CASTOR V/19 wurden im Gemeinschaftskraftwerk Neckar am im Transportgestell liegenden Behälter ohne montierte Stoßdämpfer durchgeführt.

Die Lage der Messpunkte für die spektrometrischen Messungen sowie für den Vergleich mit den kommerziellen Neutronenmonitoren wurden so gewählt, dass sie den bereits am CASTOR IIa /3/ genutzten Messpunkte im wesentlichen entsprechen und sind in Abbildung 4 schematisch dargestellt.

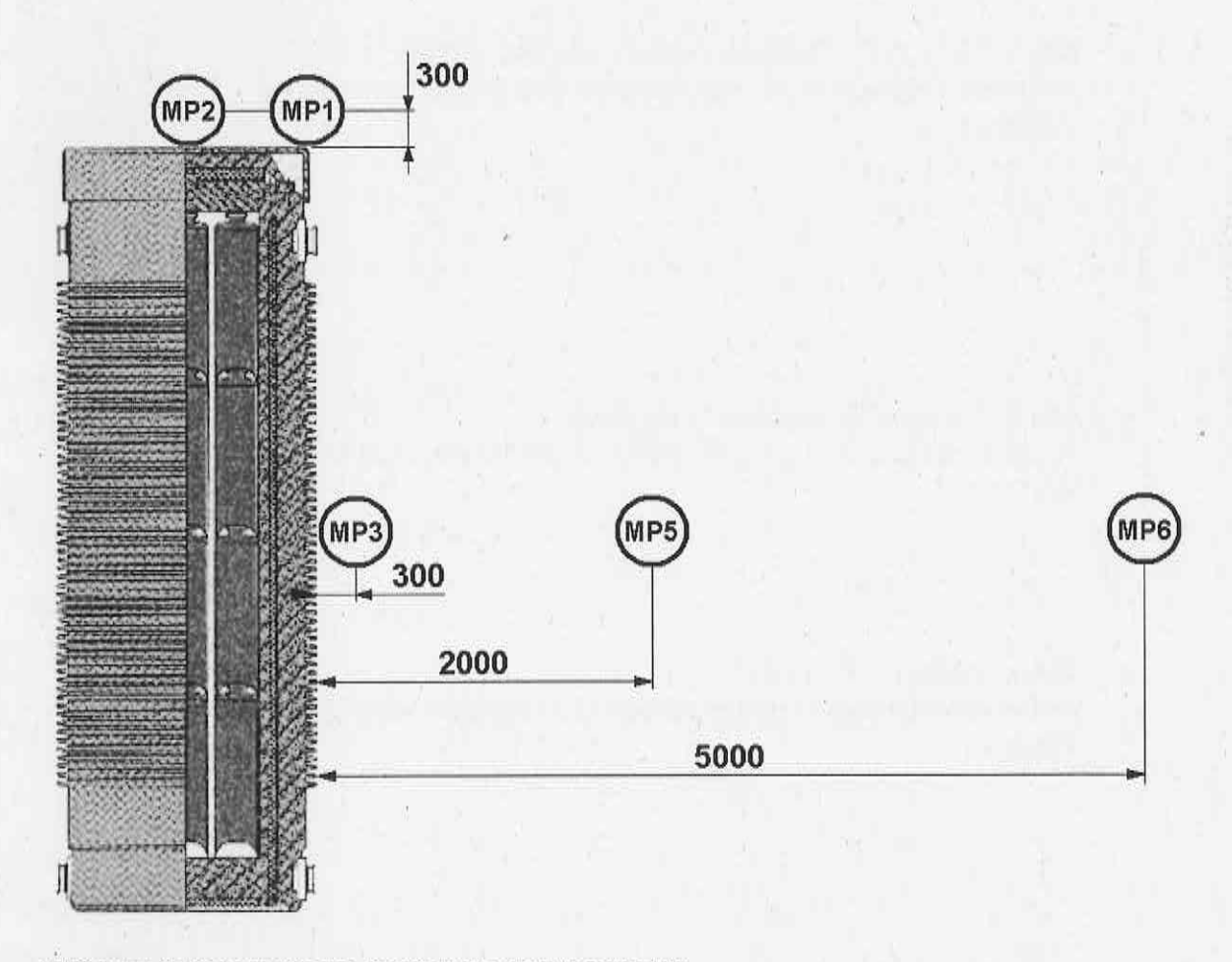


Abbildung 4: Schematische Darstellung der Messpunkte

4.1. Messgeräte für die Messung der Neutronendosisleistung

Für die Vergleichsmessungen an den o.g. Punkten kamen folgende kommerzielle Neutronenmonitore zum Einsatz:

LB 6411, EG&G/Berthold (D)
 Kugelmoderator mit ³He/Methan-Zählrohr



NG 2 ('Snoopy'), Nuclear Technology Inc. (USA)
 Andersson-Braun-Typ, zylindrischer Moderator und BF₃-Zählrohr



NM 2, Nuclear Enterprises Ltd. (GB)
 Andersson-Braun-Typ, zylindrischer Moderator und BF₃-Zählrohr



Alnor 2202D, Alnor (SF)
 Andersson-Braun-Typ, zylindrischer Moderator und BF₃-Zählrohr



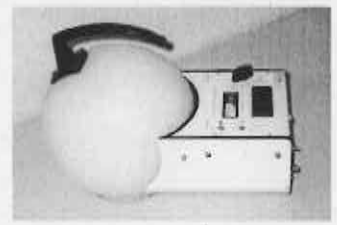
FHT 750 ('Biorem'), Eberline Instruments (D)
 Andersson-Braun-Typ, zylindrischer Moderator und BF₃-Zählrohr



N 91, Harwell Instruments (GB)
 Leake-Typ, sphärischer Moderator und ³He-Zählrohr



0949, Harwell Instruments (GB)
 Leake-Typ, sphärischer Moderator und ³He-Zählrohr



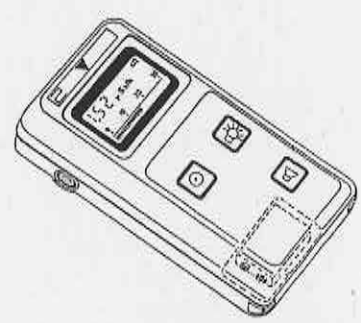
Die Monitore sind mit Ausnahme der verwendeten LB 6411 und des FHT 750 vom Hersteller für die Messgröße 'maximale Äquivalentdosis' H_{Made} nach ICRP 21 /8/ und für 241 Am-Be-Neutronen mit einer mittleren Energie von 4,5 MeV kalibriert. Die Geräte LB 6411 wurden vom Hersteller bereits für die neue Größe 'Umgebungsäquivalentdosis' H*(10) nach ICRP 60 /9/ kalibriert. Eines der Geräte (LB 6411 des BfS) wurde für Am-Be, das zweite (LB 6411 der BLG) für 252 Cf-Spaltneutronen kalibriert. Die Kalibrierung des Biorem FHT 750 wurde vom Hersteller ebenfalls für die 'Umgebungsäquivalentdosis' H*(10) an 252 Cf durchgeführt. Die Größen H*(10) und H_{Made} unterscheiden sich für das Am-Be-Spektrum nur um 5 % /10/. Die Monitore des BfS wurden außerdem im Am-Be Standardfeld der PTB kalibriert. Dabei ergaben sich gegenüber der Hersteller-kalibrierung Abweichungen von kleiner 3 % für die Monitore LB 6411 und NG 2, jedoch 23 % für das Harwell N 91 und 53 % für das Harwell 0949 /11-14/.

Für die Referenzmessungen zur Bestimmung von Neutronenspektren und Äguivalentdosisleistungen (spektrometrische Messungen) wurde wie bereits bei früheren Messungen das Mehrkugelspektrometer des BfS (Bonner-Spektrometer /15/) genutzt. Es besteht aus einem sphärischen ³He-Proportionalzählrohr (Typ SP 90. Centronic, UK), 5 Polyethylen-Moderatorkugeln (Durchmesser 7,8 cm bis 30,5 cm, Dichte 0,95 g/cm³) und einem tragbaren Vielkanalanalysator (Typ Canberra S10) mit externem Vorverstärker. Zum spektralen Fluenz-Ansprechvermögen sowie zu Anschlusskalibrierungen in ²⁵²Cf- und ²⁴¹Am-Be Referenzneutronenfeldern wird auf Seite 28 in /3/ verwiesen. Die gesuchten Neutronenspektren lassen sich unter Zuhilfenahme zusätzlicher a priori Spektren mit einem iterativen Entfaltungsverfahren auf der Grundlage des SAND II Codes /16/ näherungsweise bestimmen. Die daraus berechnete Neutronenfluenz sowie Neutronendosisleistung hat mit einer maximalen Abweichung von ±5% bzw. ±15% eine ausreichende Genauigkeit für die Zwecke des Strahlenschutzes. Weitere Ausführungen zum Bonner-Spektrometer sowie eine ausführliche Beschreibung des Entfaltungsverfahrens sind in /2/ enthalten.

4.2. Messgeräte für die Messung der Gammadosisleistung

Die Gammadosisleistungen wurden mit nachfolgend aufgeführten geeichten Ortsdosimeter gemessen:

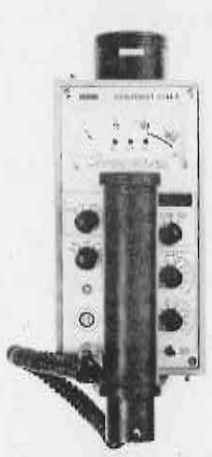
 FH 40 F2, FAG Kugelfischer (D) Geiger-Müller-Zählrohr



AD 5, Fa. Automess (D)
 Geiger-Müller-Zählrohr



 Szintomat 6134 A, Fa. Automess (D) Szintillator



RGD 27040, Fa. RFT Meßelektronik Dresden (DDR)
Ionisationskammer



Mit Ausnahme des RGD 27040 ist die Messunsicherheit für diese Geräte - für ^{137}Cs und einer Dosisleistung \geq 10 $\mu\text{Sv/h}$ - mit maximal \pm 20 % angegeben. Für das RGD 27040 gab der Hersteller eine Messunsicherheit von \pm 15 % an.

5. Messergebnisse und Diskussion

Mit den in Kapitel 4 aufgeführten Messgeräten wurden zahlreiche Messungen durchgeführt (vgl. Anlage 2). Dabei wurde an allen drei Behältern die axiale Verteilung der Gamma- und Neutronendosisleistung gemessen. An den beiden mit Glaskokillen beladenen Behältern (TS 28 V und CASTOR HAW-20/28-CG) konnten außerdem Messungen zur Ermittlung der Abstandsabhängigkeit der Dosisleistung durchgeführt werden. Zusätzlich wurde am CASTOR HAW-20/28-CG die radiale Verteilung der Dosisleistung aufgenommen. Die Messungen im TBL Gorleben wurden am Stellplatz des jeweiligen Behälters durchgeführt. Die Messungen an den beiden Kokillen-Behältern wurden jeweils kurz nach der Einlagerung, die Messungen am CASTOR V/19 kurz vor dem Verbringen in das TBL Gorleben vorgenommen.

Eine zu berücksichtigende Untergrundstrahlung wurde sowohl im TBL Gorleben als auch im GKN nicht festgestellt.

Die Ergebnisse der Messungen mit den beiden (gewählten) Bezugsmessgeräten¹, d.h. mit dem Neutronenmonitor N 91 und dem Gammadosimeter FH 40, sind in den Abbildungen 5 bis 10 dargestellt. In diesen Abbildungen wurde zugunsten der Übersichtlichkeit auf die Angabe von Fehlertoleranzen verzichtet. Sie können dem Kapitel 4 und der Anlage 2 entnommen werden.

In den ausführlichen Protokollen der einzelnen Messungen und deren Auswertung (Anlage 2 und Tab. 1 bis 5) sind weitere Messwerte enthalten. Diese dienen zum einen dem Vergleich der einzelnen Messgeräte untereinander und spiegeln zum anderen die Messungen an konstruktiv bedingten und allgemein bekannten Orten erhöhter Dosisleistung wieder. Die entsprechend vorhandener Kalibrierung korrigierten Messwerte können den Tabellen 1 bis 5 entnommen werden.

Soweit es der Messaufbau zuließ, wurden die Behälteroberflächen mit den handelsüblichen Dosimetern "abgescannt", um weitere Orte mit erhöhten Dosisleistungen zu erfassen. Solche Orte konnten jedoch nicht lokalisiert werden.

Eine erste Bewertung der gemessenen Dosisleistungen wurde in /17/ vorgenommen.

Mit den Bezugsmessgeräten wurden die Messungen der Dosisleistungsverteilungen (Höhenprofil, Abstandsmessungen und Radialprofil) sowie der Dosisleistung an nahezu allen Vergleichsmesspunkten durchgeführt.

5.1. Axiale Verteilung der Dosisleistung ("Höhenprofil")

In Abb. 5 ist die axiale Verteilung² der Gamma- und Neutronendosisleistung am Behälter TS 28 V dargestellt.

Das gemessene Profil steht im Einklang mit den Lagen und Quellstärken der Glaskokillen im Behälter. Die gemessenen und auf die Kalibrierung korrigierten Dosisleistungen liegen weit unter den zulässigen Werten aus den Technischen Annahmebedingungen der Aufbewahrungsgenehmigung und den verkehrsrechtlichen Vorschriften.

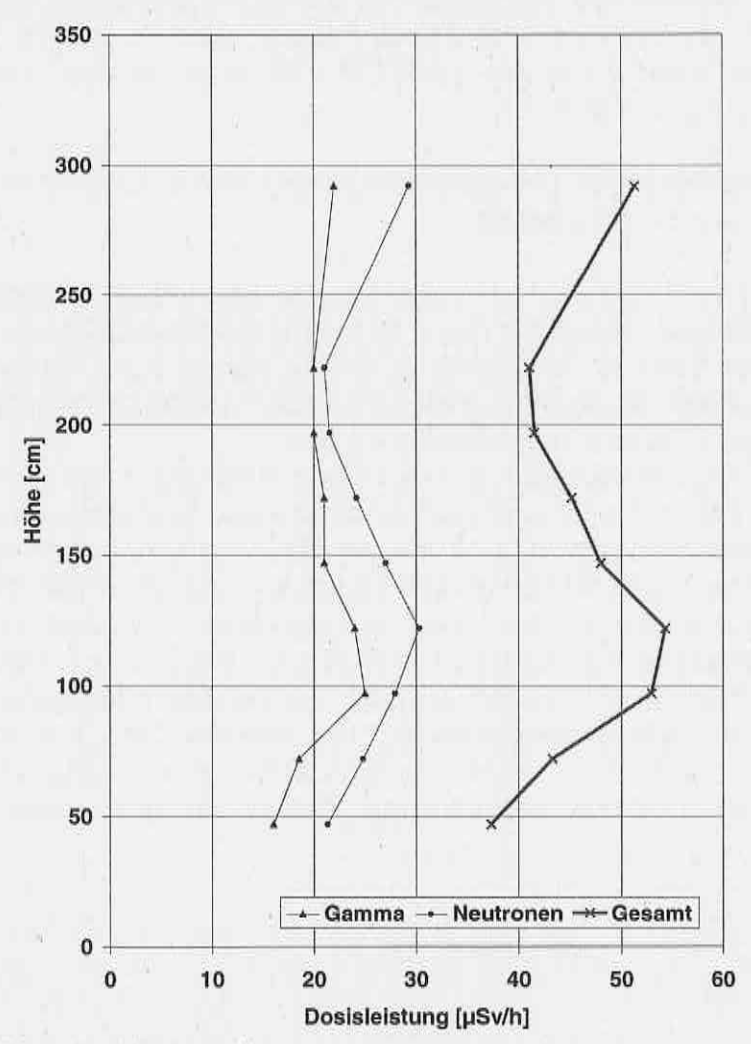


Abbildung 5: TS 28 V - Höhenprofil

² Zum Zeitpunkt der Messungen im TBL Gorleben stand keine Vorrichtung zur Verfügung, um ohne Unfallgefahren (Standsicherheit der Bühne und Leiter!) in größerer Höhe Messungen vornehmen zu können. Aus den Messungen bei der Annahme des Behälters im Wartungsbereich des TBL Gorleben war bekannt, dass auch im Kopfbereich des Behälters keine höheren Dosisleistungswerte festgestellt wurden. Daher wurde auf unsichere Hilfskonstruktionen zum Messen verzichtet und das Höhenprofil nur bis zur halben Höhe aufgenommen.

Abb. 6 zeigt die axiale Verteilung der Dosisleistung am Behälter CASTOR HAW-20/28-CG². Auch hier steht das Profil im Einklang mit den Daten der sich im Behälter befindenden Kokillen. Die Ursache für den Anstieg der Gammadosisleistung im unteren Bereich des Behälters liegt, wie in Abbildung 2 erkennbar, offensichtlich an der konstruktiv bedingten Verminderung der Behälterwanddicke in diesem Bereich. Die korrigierten Dosisleistungen liegen deutlich unter den zulässigen Werten.

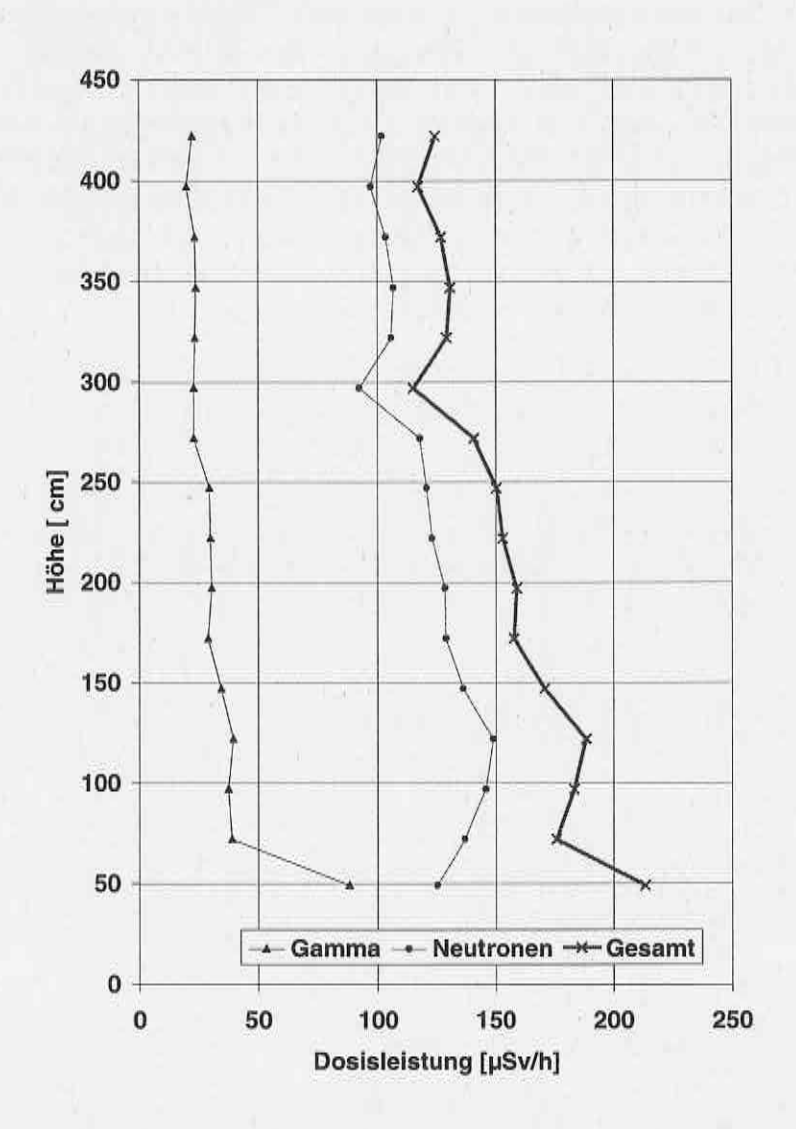


Abbildung 6: CASTOR HAW-20/28-CG - Höhenprofil

Abb. 7 zeigt die axiale Verteilung der Dosisleistung am Behälter CASTOR V/19. Da der Behälter längs auf dem Transportgestell lag, war hier ein vollständiges Höhenprofil erhaltbar. Auch wenn dieses Profil gleich schwach ausprägt ist wie bei den beiden anderen Behältern, ist das typische Abbrandverhalten von bestrahlten Brennelementen und damit verbunden die Dosisleistungsverteilung erkennbar. Zwei Messpunkte, der Messpunkt (30 cm Abstand von der Behälteroberfläche) bei der Höhe 493 cm und bei der Höhe 93 cm, zeigen zum Teil deutliche Überhöhungen der Gammadosisleistung um bis zum Faktor 4 gegenüber den anderen Messwerten in diesem Bereich. Wie aus den letzten beiden Tabellen des Messprotokolls zum CASTOR V/19 in Anlage 2 ersichtlich (Messungen direkt auf der Oberfläche), ist diese Überhöhung lokal sehr begrenzt und erreicht bereits wenige Zentimeter außerhalb dieses Bereichs die erwarteten Dosisleistungswerte. Wesentliche Ursache für die Überhöhung ist eine Nut im Behälterkörper, die zur Befestigung des Behälters auf dem Transportgestell erforderlich ist. Trotz dieser lokalen Überhöhungen liegen alle gemessenen Dosisleistungswerte auch bei diesem Behälter deutlich unter den zulässigen Werten.

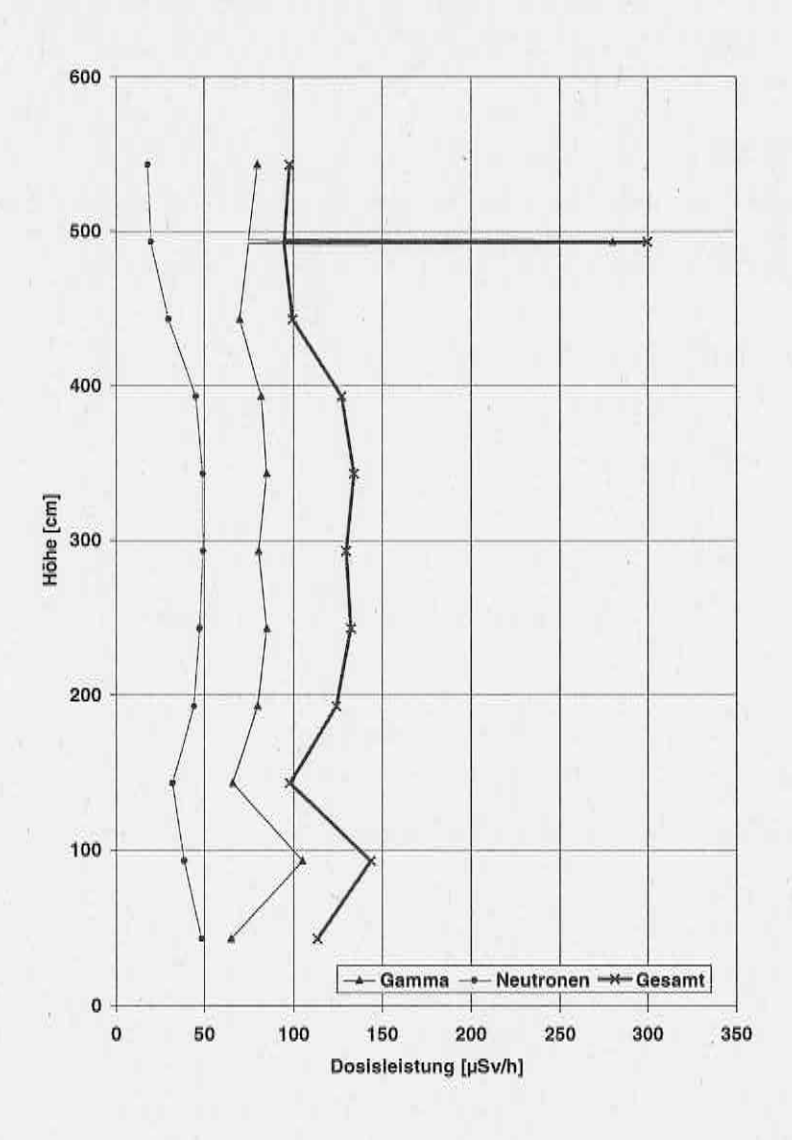


Abbildung 7: CASTOR V/19 - Höhenprofil

5.2. Abstandsabhängigkeit der Dosisleistung

In den Abb. 8 und 9 ist die Abstandsabhängigkeit der Dosisleistung dargestellt, wie sie an den beiden Behältern TS 28 V und CASTOR HAW 20/28 gemessen wurde.

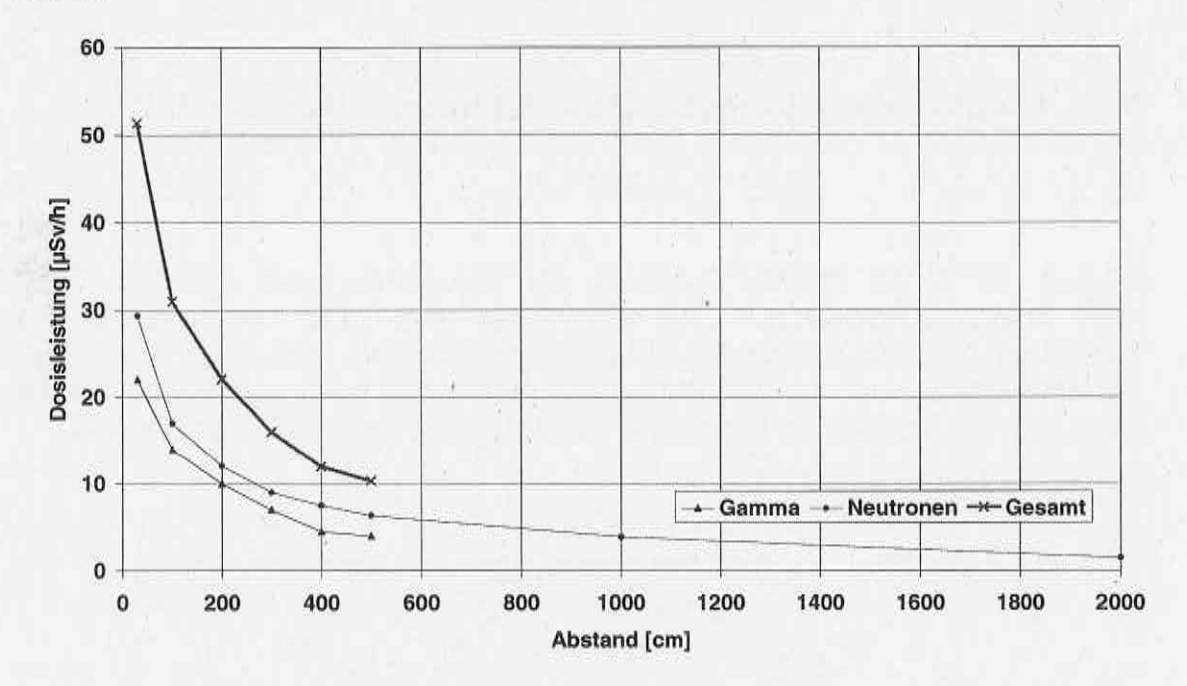


Abbildung 8: TS 28 V - Abstandsmessungen

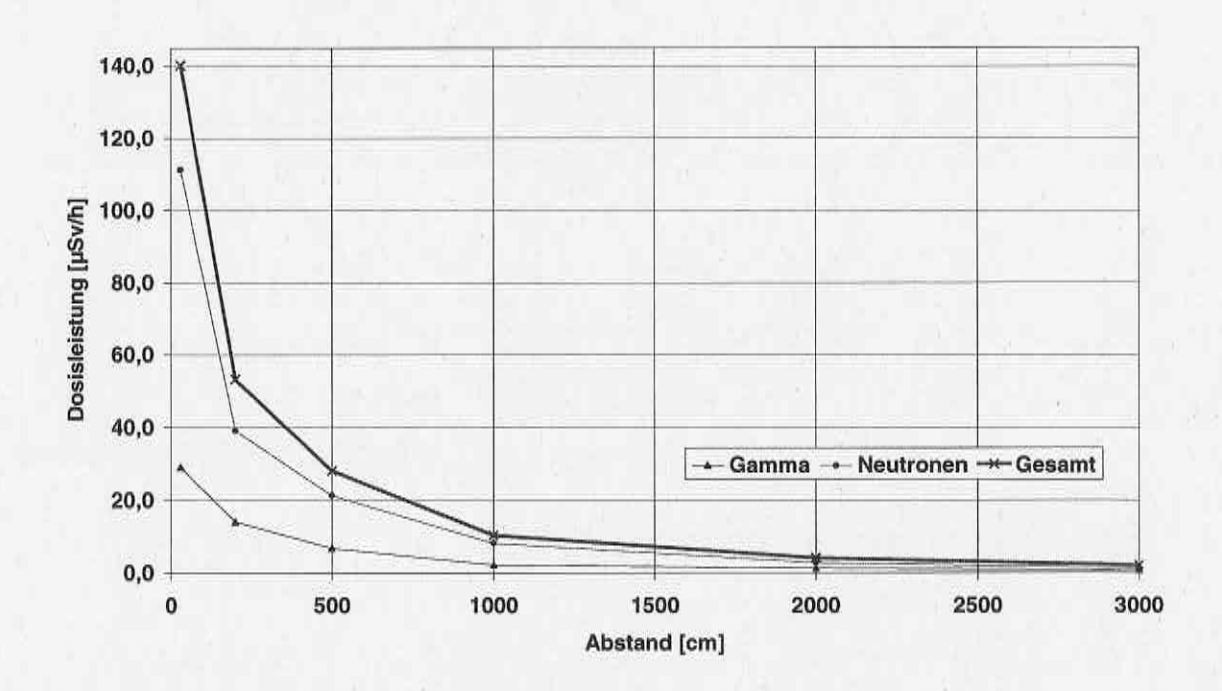


Abbildung 9: CASTOR HAW-20/28-CG - Abstandsmessungen

Da die Gammadosisleistung am TS 28 V deutlich geringer war als beim CASTOR HAW-20/28-CG, konnten nur die Werte der Neutronendosisleistung für Abstände größer 500 cm für beide Behälter ermittelt werden. Die Messwerte bei einem Abstand von 500 cm liegen bei etwa einem Fünftel der Dosisleistung an der Behälteroberfläche. Bei einem Abstand von 2000 cm sind sie ungefähr bei einem Dreißigstel der Dosisleistung an der Behälteroberfläche.

5. 3. Radiale Verteilung der Dosisleistung ("Radialprofil")

In Abb. 10 ist die radiale Verteilung der Dosisleistung am Behälter CASTOR HAW-20/28-CG dargestellt. Die Abbildung zeigt eine leicht asymmetrische Verteilung der Dosisleistung rund um den Behälter. Dies lässt sich aus den Quellstärken der sich im Behälter befindenden Kokillen erklären. Insgesamt liegen auch hier alle korrigierten Messwerte deutlich unter den zulässigen Werten.

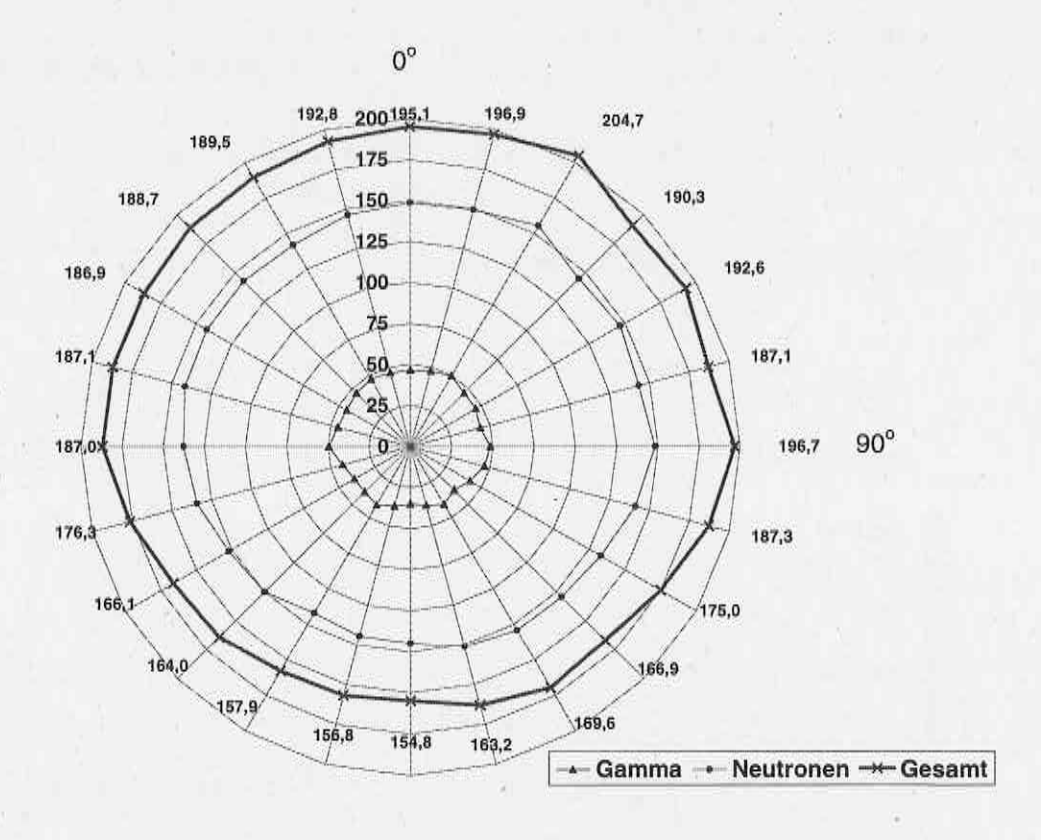


Abbildung 10: CASTOR HAW-20/28-CG - Radialprofil

5.4. Sonstige Messungen

Ein weiteres Ziel bei den Messungen bestand darin, konstruktiv bedingte Orte mit gegenüber dem sonstigen Behälterkörper verminderter Gamma- bzw. Neutronenabschirmung zu untersuchen. Diese beschränken sich im allgemeinen auf die Tragzapfenbereiche und die "Eck-"bereiche, d.h. die Übergangsbereiche Mantel-Deckel und Mantel-Boden. Sofern andere Bereiche erhöhter Strahlung aufgefunden wurden, sind diese Bereiche messtechnisch erfasst worden.

Die Messwerte können der Anlage 2 entnommen werden, hier eine kurze Zusammenfassung der Erkenntnisse, wobei alle nachstehend genannten Messwerte mit dem Harwell N91 (Neutronendosisleistung) und dem FH 40 F2 (Gammadosisleistung) ermittelt wurden:

TS 28 V:

- Am und neben dem Tragzapfen wurden Neutronendosisleistungen von 119 ...
 135 μSv/h gemessen. Verglichen mit dem Wert am Messpunkt MP3 (29 μSv/h) ergibt das einen Faktor von 4,1 bis 4,7.
- Am Messpunkt MP1 wurden 702 μSv/h (Neutronendosisleistung) gemessen.
 Verglichen mit dem Messwert am Punkt MP3 errechnet sich daraus ein Faktor von 24,2.
- Im Wartungsraum sind Arbeiten im Deckelbereich erforderlich: Aus diesem Grunde wurde am Deckelrand (radial: 30 cm außerhalb vom Deckelrand, axial 40 cm über dem Deckel) die Dosisleistung gemessen. Es ergab sich ein Neutronendosisleistungswert von 218 μSv/h, d.h. bezogen auf MP3 einen Faktor von 7,5.

Diese doch deutlichen Erhöhungen sind insbesondere durch die konstruktionsbedingte Anordnung des Neutronenmoderatormaterials begründet. Während am Tragzapfen nur der Flanschbereich moderatormaterialfrei ist, ist im Übergangsbereich zwischen Mantel und Deckel wegen des dort nicht vorhandenen und im Mantelbereich außen angeordneten Neutronenmoderators ein deutlich ausgeprägteres Neutronenfenster zu finden.

CASTOR HAW-20/28-CG:

Bedingt durch eine andere Anordnung insbesondere der Neutronenabschirmung wurden am CASTOR HAW-20/28-CG nicht derartige Überhöhungen wie am TS 28 V gemessen. Die größte "Überhöhung" weist der Messpunkt MP1 auf. Dort wurde für die Neutronendosisleistung ein Wert von 146 μ Sv/h gemessen. Bezogen auf MP3 (111 μ Sv/h) errechnet sich daraus ein Faktor von 1,3.

CASTOR V/19:

Am Behälter CASTOR V/19 wurden keine Bereiche erhöhter Neutronendosisleistung gefunden. Orte erhöhter Gammadosisleistungen wurden bereits unter Kapitel 5.1. beschrieben.

5.5 Spektrometrische Messungen

Neben dem umfangreichen Programm zur Ermittlung von Gamma- und Neutronendosisleistung mit Routinemessgeräte wurden mit dem *Bonner*-Kugel Messsystem des BfS (vgl. Punkt 4) Neutronenspektren an den Behältern bestimmt.
Wegen der längeren Messzeiten - für jedes Spektrum sind nacheinander
Einzelmessungen mit sechs Detektor/Moderator-Kombinationen erforderlich beschränkten sich diese Untersuchungen auf ausgewählte, aus Sicht des
Strahlenschutzes relevante Messpunkte (Abb. 4). Von besonderem Interesse war
die Frage, welchen Einfluss die Art des Inventars (Brennelemente, Glaskokillen),
die konstruktiven Besonderheiten des jeweiligen Behältertyps sowie der Messort
auf das Neutronenspektrum haben.

Als Spektrum wird die spektrale Neutronenfluenz Φ_E (E) oder die Fluenzrate (Flussdichte) ϕ_E (E) bezeichnet. Üblicherweise wird für deren Darstellung das Produkt $E^*\Phi_E$ linear über der logarithmisch geteilten Energieachse aufgetragen. Dies heißt, dass gleiche Flächen unter der Kurve gleiche Anteile an der Gesamtfluenz bedeuten ("flächentreue Darstellung"). Zum Zwecke besserer Vergleichbarkeit sind die entfalteten Spektren normiert auf den gleichen Wert der Fluenz im Bereich ihres Maximums dargestellt.

Die Abbildungen 11 bis 13 zeigen die am CASTOR V/19 sowie an den beiden Kokillen-Behältern CASTOR HAW-20/28-CG und TS 28 V ermittelten Spektren.

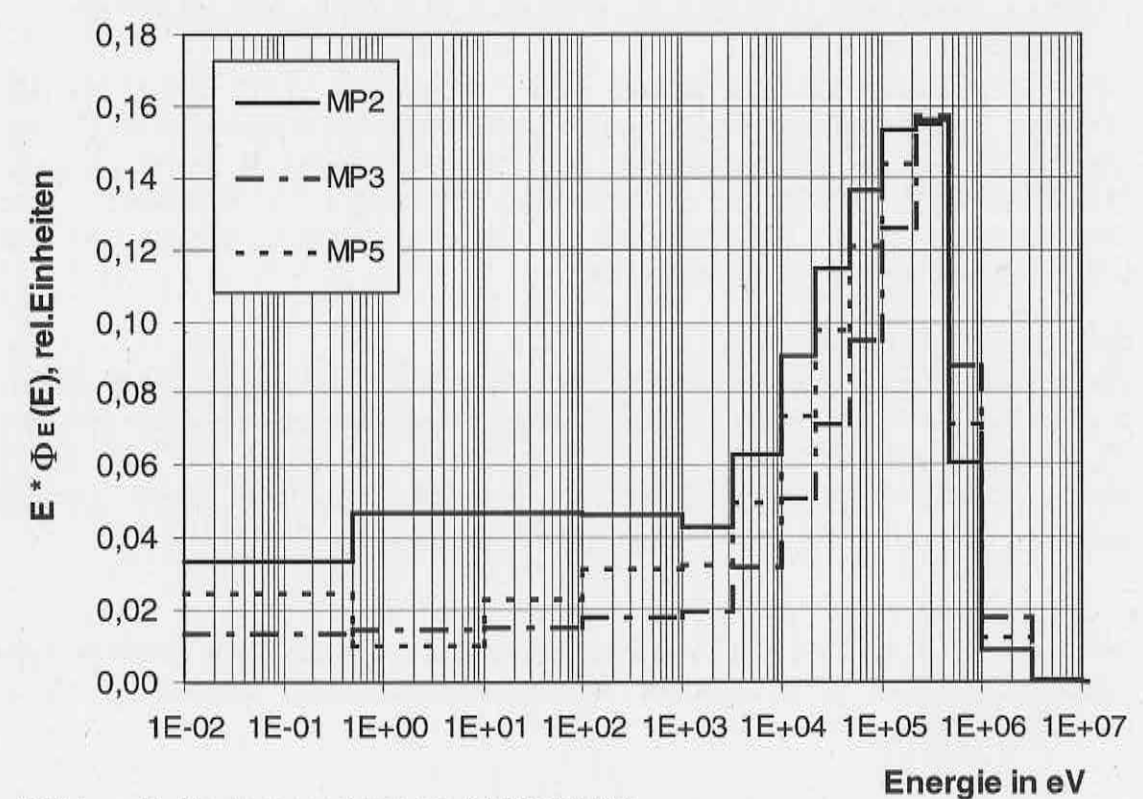


Abbildung 11: Neutronenspektren am CASTOR V/19

Am CASTOR HAW-20/28-CG, dem Behälter mit den größten Dosisleistungen, wurden Messungen bis zu 5 m Abstand von der Oberfläche (MP6) durchgeführt. Ein Vergleich der spektralen Fluenz an den Positionen MP3, MP5 und MP6 zeigt eine leichte Zunahme des Anteiles thermischer und intermediärer Neutronen mit der Entfernung, bedingt durch Neutronenstreuprozesse, insbesondere am Betonboden der Lagerhalle. Zwischen den oberflächennahen Messpunkten im Deckelbereich (MP1 und MP2) und an der Seite (MP3) bestehen dagegen kaum messbare Unterschiede.

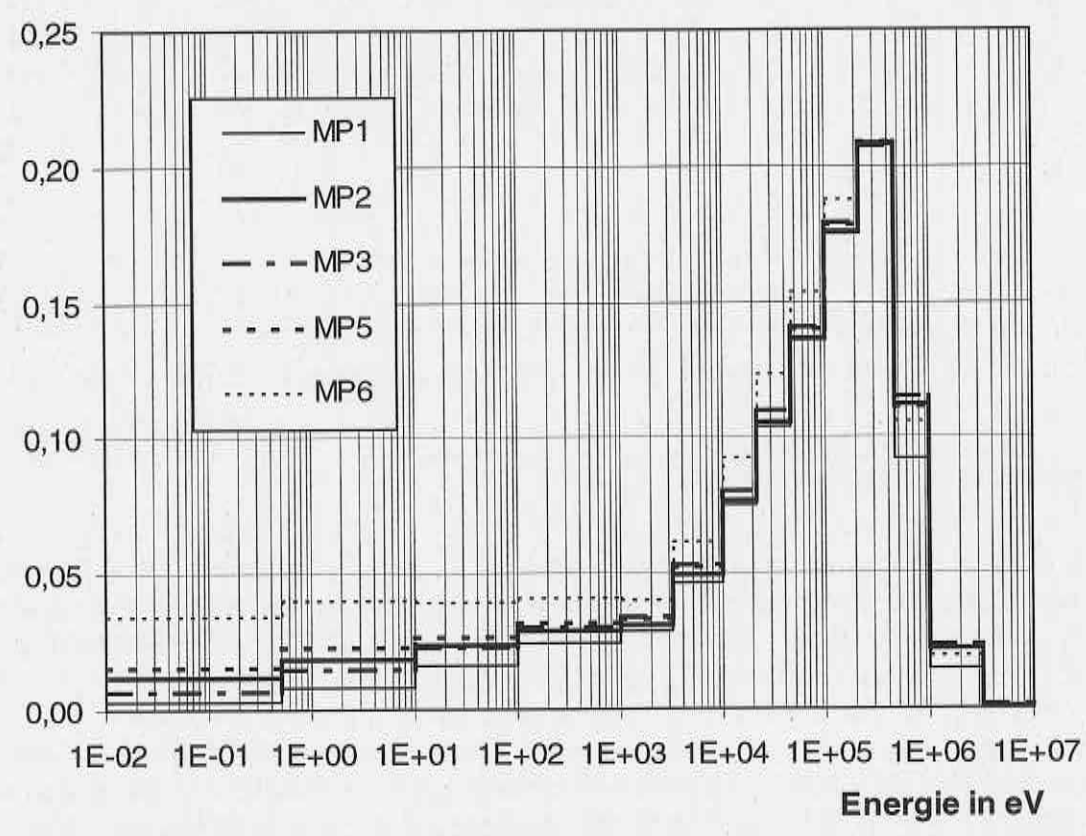


Abbildung 12: Neutronenspektren am CASTOR HAW-20/28-CG

Anders ist die Situation am gleichfalls mit Kokillen beladenen TS 28 V. Hier besteht eine deutlich sichtbare Abweichung zwischen den Spektren in der Mitte des Deckel (MP2) und am Außenmantel (MP3), sowohl die Lage des Fluenzmaximums als auch den Anteil intermediärer Neutronen betreffend. Dies ist durch die konstruktiven Besonderheiten beim TS 28 V im Vergleich zu Behältern der CASTOR-Baureihe bedingt (vgl. Abb. 1 bis 3). Letztere besitzen in den Eisenmantel eingelassene Neutronen-Absorberstäbe bzw. Absorberplatten zwischen Primär- und Sekundärdeckel, d.h. eine annähernd gleichartige Abschirmkonfiguration. Der TS 28 V ist im Deckelbereich ähnlich aufgebaut wie die CASTORen, den Mantelbereich bedeckt dagegen eine außenliegende Neutronenabschirmung. Dies wird noch deutlicher, wenn man die Spektren an identischen Messpunkten der beiden Behälter für Glaskokillen miteinander vergleicht (Abb. 14).

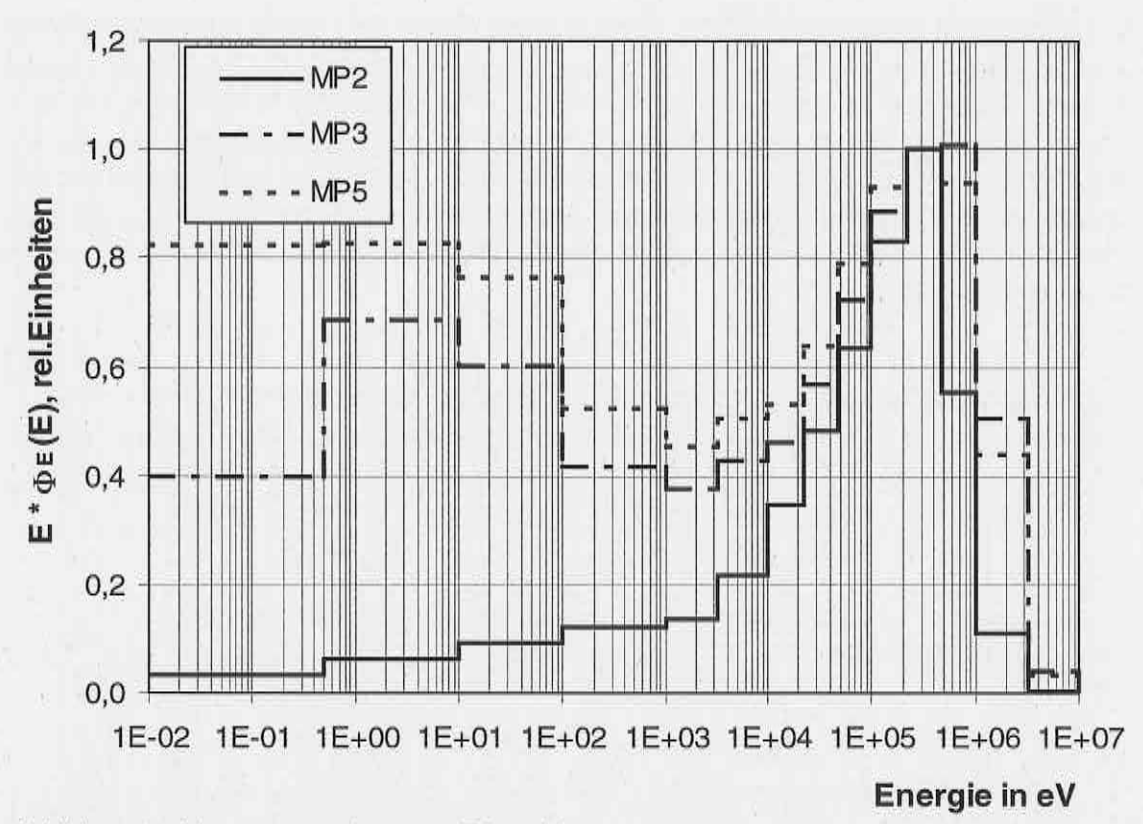


Abbildung 13: Neutronenspektren am TS 28 V

Auffällige Befunde ergeben sich auch bei der Betrachtung von Spektren an Behältern, die zwar sehr ähnlich aufgebaut sind aber unterschiedliches Inventar, Brennelemente bzw. Glaskokillen enthalten. Am Beispiel der Messpunkte MP2 und MP3 am CASTOR V/19 und CASTOR HAW-20/28-CG wird dies deutlich (Abb. 15). An der Oberfläche des Mantels (MP3) stimmen die an beiden Behältern ermittelten Spektren im Rahmen der Messunsicherheit überein, während am Deckel des CASTOR V/19 mehr niederenergetische Neutronen gefunden wurden (Abb. 11). Dies lässt sich dadurch erklären, dass die Glaskokillen eine nahezu homogene Neutronenquelle darstellen. Durch die charakteristische Abbrandverteilung von Brennelementen findet eine Selbstabschirmung der Neutronen in den Brennelementen und in deren Kopfstücken statt.

Das Bonner-Kugel Spektrometer diente auch als Messsystem zur Bestimmung von Referenzwerten für die Neutronendosisleistung \dot{H} . Diese ergibt sich aus der spektralen Flussdichte $\varphi_E(E)$ durch numerische Integration über die n Energieintervalle gemäß:

$$\dot{H} = \sum_{i=1}^{n} h_{\Phi}(E_i) \cdot \varphi_E(E_i) \cdot \Delta E_i$$

Dabei sind $h_{\Phi}(E_i)$ die mittleren Fluenz-Äquivalentdosis-Konversionsfaktoren im iten Energieintervall für die Umgebungsäquivalentdosis H*(10) nach /18/ bzw. für die maximale Äquivalentdosis H_{Made} nach /8/.

Die so erhaltenen Werte an den untersuchten Behältern und Messpunkten sind in Tab. 6 zusammengefasst und um repräsentative Werte für die Gammadosisleistung ergänzt. Die daraus errechnete Gesamtdosisleistung und der prozentuale Anteil der Neutronen sind zusätzlich angegeben. Als Bezugswert für die Gammadosisleistung wurde die Anzeige des Gerätes FH 40 F2 (bzw. AD5) verwendet (siehe Anlage 2).

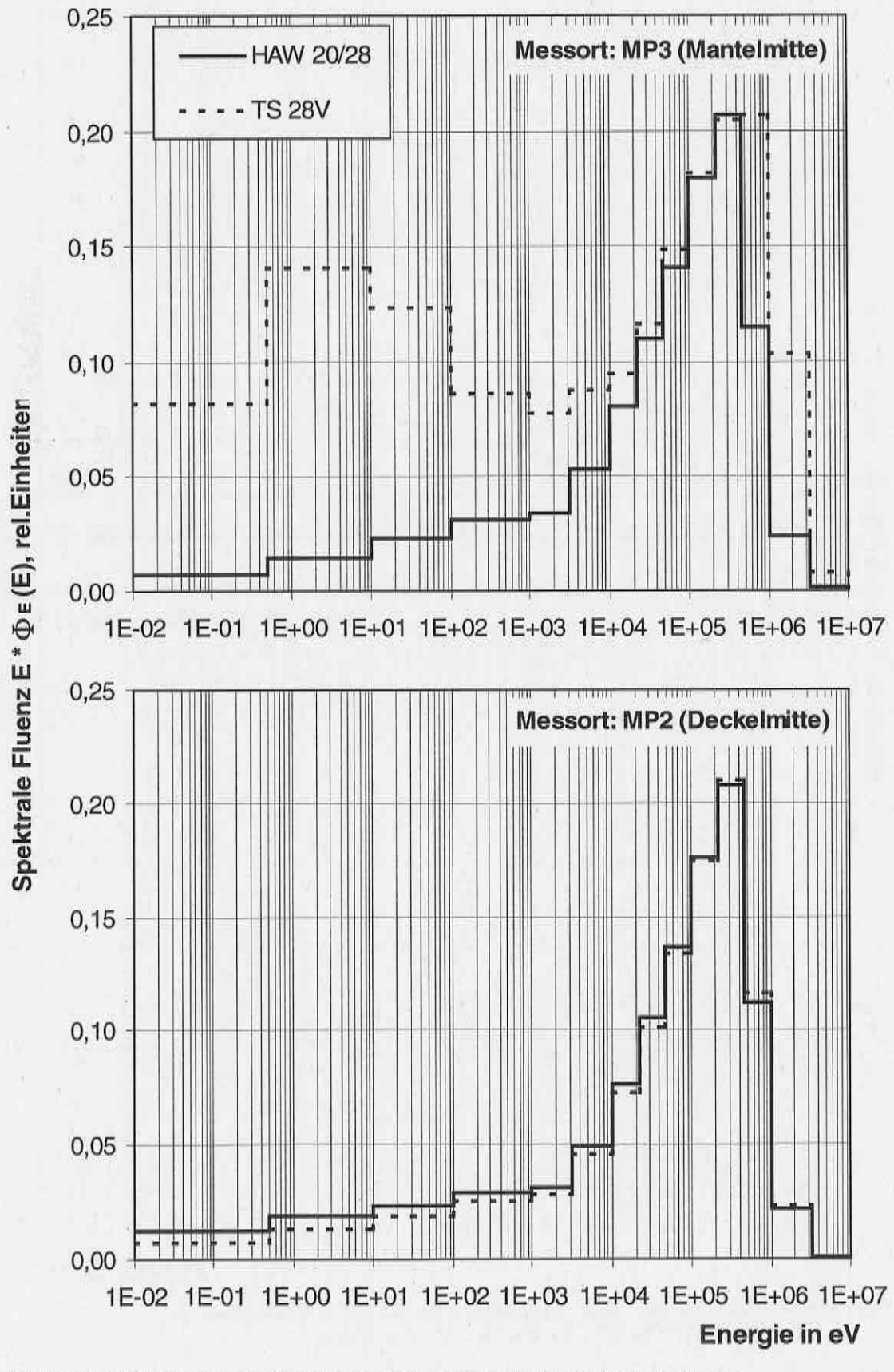


Abbildung 14: Vergleich der Neutronenspektren am CASTOR HAW-20/28-CG und TS 28 V an den Messpunkten 2 und 3

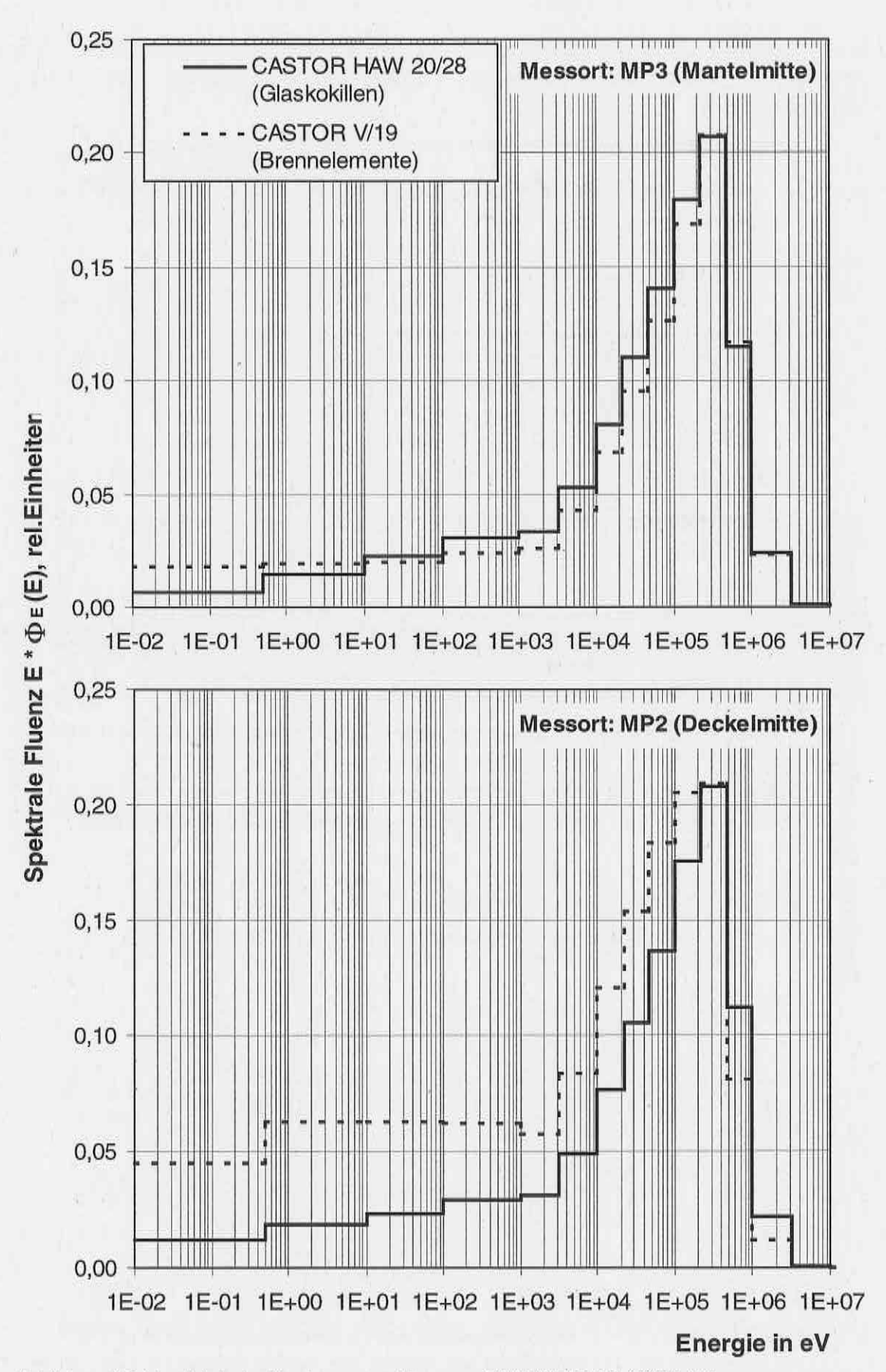


Abbildung 15: Vergleich der Neutronenspektren am CASTOR HAW-20/28-CG und CASTOR V/19 an den Messpunkten 2 und 3

5.6. Vergleich der Messgeräte

In den Tab. 7 bis 9 sind die Ergebnisse zur Ermittlung der systematischen Messunsicherheiten kommerzieller Dosisleistungsmessgeräte für Neutronenstrahlung zusammengefasst. Neben den Messwerten dieser Geräte und den spektrometrisch ermittelten Referenzwerten sind die relativen Dosisanzeigen angegeben. Diese sind der Quotient aus der Dosisanzeige des jeweiligen Messgerätes und dem Referenzwert für die entsprechende Messgröße.

Die Ergebnisse zeigen deutliche gerätetypspezifische Unterschiede, nahezu unabhängig von der Behälterbauart. Die relative Anzeige von Dosimetern des Leake-Typs (Harwell 0949 und N 91) ergibt in den meisten Fällen einen Faktor zwei und mehr, d.h. die Dosisleistung wird um ca. 100 % überbewertet. Bei Neutronendosimetern des Typs Andersson-Braun - ausgenommen das FHT 750 - liegt die Überschätzung im Bereich von etwa 20 % bis 40%. Beim FHT 750 entspricht die relative Anzeige nahe dem Idealwert 1. Das hat weniger konstruktive Gründe, sondern ist vielmehr ein Ergebnis der gegenüber anderen Geräten des Andersson-Braun Typs geänderten Kalibrierung. Bei den beiden Ortsdosimetern des Typs LB 6411 wurde, ungeachtet der unterschiedlichen Kalibriernuklide, eine durchschnittliche Unterbewertung um etwa 10 % mit vergleichsweise geringer Variation für die verschiedenen Messorte und Behälter gefunden.

6. Zusammenfassung

An den Behältern TS 28 V, CASTOR HAW-20/28-CG, beide mit HAW-Kokillen aus der Wiederaufarbeitung bestrahlter Brennelemente bei der COGEMA beladen, sowie am Behälter CASTOR V/19, beladen mit bestrahlten Brennelementen aus dem Gemeinschaftskraftwerk GKN 2, konnten umfangreiche Messungen zur Ermittlung des Strahlungsfeldes in der Umgebung beladener Transport- und Lagerbehälter durchgeführt werden.

Die dabei ermittelten Werte der Gamma- und Neutronendosisleistung stehen im Mittelpunkt dieses Berichts. Die entsprechenden Messprotokolle sind in Anlage 2 und die Dosisleistungen, ggf. nach Berücksichtigung individueller Kalibrierfaktoren, in den Tabellen 1 bis 5 zusammengefasst. An ausgewählten Messpunkten wurden Vergleichsmessungen von kommerziellen Ortsdosimetern für die Neutronenstrahlung mit einem Mehrkugelspektrometer als Referenzgerät durchgeführt, deren Ergebnisse in den Tabellen 6 bis 9 angegeben sind.

Für eine weiterführende Auswertung, z.B. Nachrechnung mit verschiedenen Programmen zur Abschirmung, sind die Inventardaten in Anlage 1 aufgenommen worden.

Abschließend ist festzustellen, dass alle Messwerte, auch diejenigen an Orten mit erhöhter Dosisleistung weder die Werte in den Technischen Annahmebedingungen des TBL Gorleben noch die im Verkehrsrecht festgeschriebenen Grenzwerte übersteigen.

Literatur

/1/	Aufbewahrungsgenehmigung für das Transportbehälterlager Gorleben AZ: ET 3.3-2.1.1.13 vom 02.06.1995
121	BfS-ET-15/92 Börst, FM.; Rimpler, A. Strahlungsmessungen an einem Transportbehälter für die Beförderung abgebrannter Brennelemente Salzgitter, November 1992
/3/	BfS-ET-24/97 Heimlich, Friedrich H. (Hrsg.) Messungen im Neutronen- und Gamma-Strahlungsfeld eines beladenen Castor-IIa-Behälters im Transportbehälterlager Gorleben und Vergleich der Meßergebnisse für Neutronen mit Monte-Carlo- Rechnungen
/4/	Zulassungsschein D/4317/B(U)F-85
/5/	Zulassungsschein D/4318/B(U)F-85
/6/	Zulassungsschein D/4312/B(U)F-85
/7/	GNB Gesellschaft für Nuklear-Behälter mbH Sicherheitsbericht für den Transport- und Lagerbehälter TS 28 V GNB B 93/92 (Rev. 3), März 1995
/8/	International Commission on Radiological Protection (ICRP) ICRP Publication 21 Data for Protection against Ionizing Radiation from External Sources Pergamon Press, Oxford, 1971
/9/	International Commission on Radiological Protection (ICRP)
	ICRP Publication 60 Recommendations of the International Commission on Radiological Protection Annals of the ICRP Vol. 21, No. 1-3 Pergamon Press, Oxford, 1991
/10/	W.G. Alberts u.a. Neue Dosismeßgrößen im Strahlenschutz Bericht PTB-Dos-23, Braunschweig, 1994

- /11/ Physikalisch-Technische Bundesanstalt
 Bericht über die Prüfung und Kalibrierung eines Äquivalentdosisleistungsmeßsystems (Neutronensonde LB 6411)
 Geschäftszeichen: 7.32/95/22811-1
 Braunschweig, 14. März 1996
- /12/ Physikalisch-Technische Bundesanstalt
 Bericht über die Prüfung und Kalibrierung eines Äquivalentdosisleistungsmeßsystems (NG-2 Survey Meter)
 Geschäftszeichen: 7.32/95/22811-2
 Braunschweig, 14. März 1996
- /13/ Physikalisch-Technische Bundesanstalt
 Bericht über die Prüfung und Kalibrierung eines Äquivalentdosisleistungsmessers (NEUTRON DOSE-EQUIVALENT MONITOR 95/0949-4/6)
 Geschäftszeichen: 7.32/96/2488-1
 Braunschweig, 2. April 1996
- /14/ Physikalisch-Technische Bundesanstalt
 Bericht über die Prüfung und Kalibrierung eines Äquivalentdosisleistungsmessers (NEUTRON MONITOR N91)
 Geschäftszeichen: 7.32/96/2488-2
 Braunschweig, 2. April 1996
- /15/ Bramblett, R.L.; Ewing, R.I.; and Bonner, T.W. A New Type of Neutron Spectrometer Nucl. Instrum. Methods 9, pp. 1-12, 1960
- /16/ McElroy, W.N.; Berg, S.; Crockett, T.; and Hawkins, R.G.
 A Computer-Automated Iterative Methode for Neutron Flux Spectra
 Determination by Foil Activation
 Report AFWL-TR-67-41, Los Alamos, 1967
- /17/ Börst, F.-M.; Rimpler, A.; Scheib, H. Dose Rate Measurements at Several Casks for Transport and Interim Storage Proceedings of the 12th Internatinal Conference on the Packaging and Transportation of Radioactive Materials (PATRAM '98), Paris 10-15 May 1998, S. 1064-1073.
- /18/
 International Commission on Radiological Protection (ICRP)
 ICRP Publication 74
 Conversion Coefficients for use in Radiological Protection against
 External Radiation
 Annals of the ICRP 26, No. 3/4
 Pergamon Press, Oxford, 1996

Tabelle 1: Zusammenstellung der Messergebnisse der Vergleichsmessungen an den Messpunkten MP1 bis MP6

			MP1		MP2			MP3	1		MP5		MP6
	Messgerät	TS 28 V	CASTOR HAW-20/28-CG	TS 28 V	CASTOR HAW-20/28-CG	CASTOR W19	TS 28 V	CASTOR HAW-20/28-CG	CASTOR V/19	TS 28 V	CASTOR HAW-20/28-CG	CASTOR V/19	CASTOR HAW-20/28-CG
	H*(10) (spektrometrisch)	572,0	122,0	119,0	37,0	4,1	20,1	0'68	39,3	9,1	38,1	13,3	15,4
	LB 6411 ^{1),4)}		75,6	80,4	25,8	4,2	18,8	81,1	34,6	8,7	33,0	12,2	14,5
	LB 6411 (BLG) ^{1),5)}	469,0	81,0	0'68	27,0		19,1	0''		9,8	32,5		13,5
[4/^8			93,0		35,0	5,1		85,4	36,4		34,5	13,5	14,4
3d] 6	H _{Made} (spektrometrisch)	382,0	0'08	0,08	24,9	2,8	15,3	60,1	26,5	6'9	25,6	8,9	10,4
untale	NG 2 33.4)	644,0	100,3	114,0	30,4	4,1	19,0	73,4	34,9	6'8	31,4	14,1	15,2
isisol		614,0	98,2	103,0	31,0		16,5	72,2		7,6	31,0		14,4
puauc						4,0			30,0			10,0	
Jentro		,				4,5			32,0			10,0	
1		702,0	146,0	153,0	49,6	6,1	28,5	111,2	49,2	12,1	39,2	18,7	21,3
	Harwell 0949 3).4)	1128,0	191,3	188,0	2'09		29,3	130,0		14,3	58,6		23,6
	Harwell 0949 (BLG) 31.5)			118,0			20,9	V		0,6	7		
[4//		16,5	2,3	0'8	3,3	13,0	22,0		90'8	10,0	14,0	37,0	8,8
St] (Szintomat	13,0		5,5		11,0	18,0		65,0	7,5		28,5	2,0
stung	Szintomat (BLG)						17,0			8'9			
elsie	AD 5					11,0		29,0	75,0			35,0	
швас	RGD 27040					11,0			63,0			32,0	
Gam	NG 2	12,7							52,0	8,1			

2) kalibriert für 22/CI/ICRP 60 3) kalibriert für AmBeilCRP 21 4) Kalibrierfaktor gemäß PTB-Kalibrierung 5) Kalibrierfaktor gemäß Herstellerangaben 1) kalibriert für AmBe/ICRP 60

Zusammenstellung der Messergebnisse der Vergleichsmessungen an sonstigen Messpunkten Tabelle 2:

	Messoerät	K A	TS 28 V		CAS HAW-20	CASTOR HAW-20/28-CG
	•	Deckel (30 cm seitl. 40 cm hoch)	Tragzapfen, unten	neben Tragzapfen, unten	Tragzapfen, unten Höhe 50 cm	Tragzapfen, unten Höhe 80 cm
[4/^8	LB 6411 ^{1),3)}		81,6	84,7		
rl] ɓun	LB 6411 (BLG) ^{1),4)}	142,3				
taielaiad	NM 2 ^{2),4)}	146,2		9 0		, I
opueuo.	Harwell N91 ^{2),3)}	218,1	119,0	134,6	83,0	114,2
itueN	Harwell 0949 ^{2),3)}	311,6	131,8	158,6	98'6	133,1
(4/^! 6un: -sis -wu	FH 40 F2	0'9	37,0	21,0	18,0	0'09
eob taiel	Szintomat	5,5	30,0	18,0	18,0	51,0

kalibriert für AmBe/ICRP 60 2) kalibriert für AmBe/ICRP 21
 Kalibrierfaktor gemäß PTB-Kalibrierung 4) Kalibrierfaktor gemäß Herstellerangaben

Tabelle 3: Zusammenstellung der Messergebnisse für die Höhenprofile

		TS 28 V		CAST	OR HAW-20/28-	CG		ASTOR V/19	
Höhə [cm]	Gammadosis- leistung ¹⁾ [µSv/h]	Neutronendosis- leistung ²⁾ [µSv/h]	Summe [µSv/h]	Gammadosis- leistung ¹⁾ [µSv/h]	Neutronendosis- leistung ²⁾ [µSv/h]	Summe [µSv/h]	Gammadosis- leistung ¹⁾ [µSv/h]	Neutronendosis- leistung ²⁾ [µSv/h]	Summe [µSv/h]
43							65,0	48,5	113,5
47	16,0	21,3	37,3						
49				88,0	125,4	213,4			
72	18,5	24,8	43,3	39,0	137,0	176,0			
93							105,0	38,5	143,5
97	25,0	28,0	53,0	37,5	145,9	183,4			
122	24,0	30,3	54,3	39,5	149,0	188,5			
143							66,0	32,0	98,0
147	21,0	27,0	48,0	34,5	136,3	170,8			
172	21,0	24,2	45,2	29,0	129,0	158,0	1 -	, ,	1
193							80,0	44,2	124,2
197	20,0	21,5	41,5	30,5	128,6	159,1			1
222	20,0	21,1	41,1	30,0	123,0	153,0			
243							85,0	47,4	132,4
247				29,5	120,8	150,3			
272				23,0	118,0	141,0	KI		17
292	22,0	29,3	51,3	0					
293							80,5	49,3	129,8
297				23,0	92,2	115,2			
322				23,5	105,8	129,3			
343							85,0	49,1	134,1
347	-		1 :	24,0	106,8	130,8			
372				23,5	103,5	127,0			
393							82,0	45,3	127,3
397				20,0	97,3	117,3			
422				22,5	101,9	124,4			
443							70,0	29,6	99,6
493							280,0	19,8	299,8
543				7			80,0	17,9	97,9

¹⁾ Messwerte ermittelt mit FH 40 F 2 oder AD5 2) Messwerte ermittelt mit Harwell N91

Zusammenstellung der Messergebnisse der Abstandsmessungen Tabelle 4:

		TS 28 V		CAS	TOR HAW-20/28-	CG
Höhe [cm]	Gammadosis- leistung ¹⁾ [µSv/h]	Neutronendosis- leistung ²⁾ [µSv/h]	Summe [µSv/h]	Gammadosis- leistung ¹⁾ [µSv/h]	Neutronendosis- leistung ²⁾ [µSv/h]	Summe [µSv/h]
16		30,6				
25		28,7			8 4	
30		26,7				
30 ³⁾	22,0	29,3	51,3	1111 9		
30 ⁴⁾				29,0	111,2	140,2
35		25,2	1			
40		25,2				
100	14,0	17,0	31,0			
200 4)	10,0	12,1	22,1	14,0	39,2	53,2
300	7,0	9,0	16,0			
400	4,5	7,5	12,0			
500 ⁴⁾	4,0	6,3	10,3	6,8	21,3	28,1
1000	X	3,9	3,9	2,2	8,1	10,3
1000 ⁵⁾			111.521	2,3	5,8	8,1
2000		1,5		1,3	2,8	4,1
2000 ⁵⁾				1,0	2,0	3,0
3000				0,9	1,2	2,1

Messwerte ermittelt mit FH 40 F 2 oder AD5
 aus Höhenprofil
 4) aus Vergleichsmessung

²⁾ Messwerte ermittelt mit Harwell N91

⁵⁾ Messgeräte am Boden stehend

Tabelle 5: Zusammenstellung der Messergebnisse des Radialprofils CASTOR HAW-20/28-CG

	CASTOR HAW-20/28-CG					
Messort	Gammadosis- leistung ¹⁾	Neutronendosis- leistung ²⁾	Summe			
(Winkel in [°])	[µSv/h]	[µSv/h]	[µSv/h]			
0	46,5	148,6	195,1			
15	47,5	149,4	196,9			
30	49,5	155,2	204,7			
45	46,0	144,3	190,3			
60	46,0	146,6	192,6			
75	44,0	143,1	187,1			
90	48,5	148,2	196,7			
105	46,5	140,8	187,3			
120	42,0	133,0	175,0			
135	37,5	129,4	166,9			
150	40,5	129,1	169,6			
165	37,0	126,2	163,2			
180	35,0	119,8	154,8			
195	37,5	119,3	156,8			
210	41,0	116,9	157,9			
225	39,0	125,0	164,0			
240	39,0	127,1	166,1			
255	42,5	133,8	176,3			
270	49,5	137,5	187,0			
285	45,5	141,6	187,1			
300	44,5	142,4	186,9			
315	46,0	142,7	188,7			
330	47,5	142,0	189,5			
345	46,5	146,3	192,8			
360	48,0	148,1	196,1			

¹⁾ Messwerte ermittelt mit FH 40 F 2

²⁾ Messwerte ermittelt mit Harwell N91

Tabelle 6: Referenzwerte der Neutronen- und Gammadosisleistung und der Neutronenflussdichte an den spektrometrisch untersuchten Messpunkten

Behälter	MP	Flußdichte		Dosisleis	stung [µSv/h]		H*(10)/H _{Gesamt}
		[cm ⁻² s ⁻¹]	$\dot{H}_{ ext{Made}}$	H *(10)	\dot{H}_{Gamma}	$\dot{H}_{\mathrm{Gesamt}^*}$	[%]
	2	158	2,8	4,1	13,0	17,1	24
CASTOR V/19	3	90	26,5	39,3	80,5	119,8	33
	5	39	8,9	13,3	37,0	50,3	26
	1	280	80,0	122,0	2,3	124,3	98
CASTOR	2	89	24,9	37,0	3,3	40,3	92
HAW-20/28-CG	3	208	60,1	89,0	29,0	118,0	75
	5	96	25,6	38,1	14,0	52,1	73
	6	47	10,4	15,4	6,8	22,2	69
	1	1246	382,0	572,0	16,5	588,5	97
TS 28V	2	263	80,0	119,0	8,0	127,0	94
	3	65	15,3	20,1	22,0	42,1	48
	5	38	6,9	9,1	10,0	19,1	48

^{*)} $\dot{H}_{\text{Gesamt}} = \dot{H}^{*}(10) + \dot{H}_{\text{Gamma}}$

Tabelle 7: Messgerätevergleich - TS 28 V

				Mess	Messpunkt					
spektrometrisch	MP 1	1.	×	MP 2	M	MP 3	M	MP 5		
H*(10) (µSv/h)	572,0	2,0	11	119,0	20	20,1	6	9,1		
H _{Made} (µSv/h)	382,0	2,0	98	0,08	16	15,3	9	6'9		
Gerätetyp *)		1.2	ahl: Geräte	1. Zahl: Geräteanzeige (µSv/h), 2. relative Anzeige	JSv/h), 2. r	elative An	zeige		mittlere relative Dosisanzeige	Abweichung
LB 6411 ¹⁾			80,4	89'0	18,8	0,94	8,7	96'0	98'0	12 %21 %
LB 6411, BLG ²⁾	469	0,82	0,68	0,75	19,1	96'0	9,8	96'0	0,87	10 %14 %
NG 2 ¹⁾	644	1,69	114	1,43	19,0	1,24	6,8	1,29	1,41	20 %12 %
NM 2 ²⁾	614	1,61	103	1,29	16,5	1,08	9,7	1,10	1,27	27 %15 %
Harwell N91 ¹⁾	702	1,84	153	1,91	28,5	1,86	12,1	1,75	1,84	4%5%
Harwell 0949 ¹⁾	1128	2,95	188	2,35	29,3	1,92	14,3	2,07	2,32	27 %18 %
Harwell 0949, BLG ²⁾			118	1,48	20,9	1,37	0,6	1,30	1,38	% 9- % <i>L</i>

¹ LB 6411 kalibriert für AmBe/ICRP 60; alle anderen für AmBe/ICRP 21

¹⁾ Kalibrierfaktoren gemäß PTB-Kalibrierung ²⁾ Kalibrierfaktor gemäß Herstellerangaben

Tabelle 8: Messgerätevergleich - CASTOR HAW-20/28-CG

					Mess	Messpunkt						
spektrometrisch	MP 1	Ţ	M	MP 2	M	MP 3	M	MP 5	M	MP 6		
H*(10) (µSw/h)	122,0	0'0	37,0	0,	68	0,68	38,1	1,	15,4	,4		
H _{Made} (µSv/ħ)	0,08	0,	24,9	o,	60,1	11	25,6	9,	10,4	,d		
Gerätetyp ¹)			1. Z	ahl: Geräte	Zahl: Geräteanzeige (µSv/h), 2. relative Anzeige	Sv/h), 2. r	elative Anz	eige		-	mittlere relative Dosisanzeige	Abweichung
LB 6411 ¹⁾	75,6	0,62	25,8	0,70	1,18	0,91	33,0	78'0	14,5	0,94	0,81	17 %23 %
LB 6411, BLG ²⁾	81,0	99'0	27,0	0,73	0,77	0,87	32,5	58'0	13,5	0,88	08'0	10 %17 %
FHT 750 ²⁾	93,0	92'0	35,0	96'0	85,4	96'0	34,5	0,91	14,4	0,94	06'0	6 %15 %
NG 2 ¹⁾	100,3	1,25	30,4	1,22	73,4	1,22	31,4	1,23	15,2	1,46	1,28	14%4%
NM 2 ²⁾	98,2	1,23	31,0	1,24	72,2	1,20	31,0	1,21	14,4	1,38	1,25	10 %4 %
Harwell N91 ¹⁾	146,0	1,83	49,6	1,99	111,2	1,85	39,2	1,53	21,0	2,02	1,84	10 %17 %
Harwell 0949 ¹⁾	191,3	2,39	2,09	2,44	130,0	2,16	9'89	2,29	24,0	2,31	2,32	5%7%

1) LB 6411 kalibriert für AmBe/ICRP 60; FHT 750 für ²⁸²Cf/ICRP 60; alle anderen für AmBe/ICRP 21
 1) Kalibrierfaktoren gemäß PTB-Kalibrierung
 2) Kalibrierfaktor gemäß Herstellerangaben

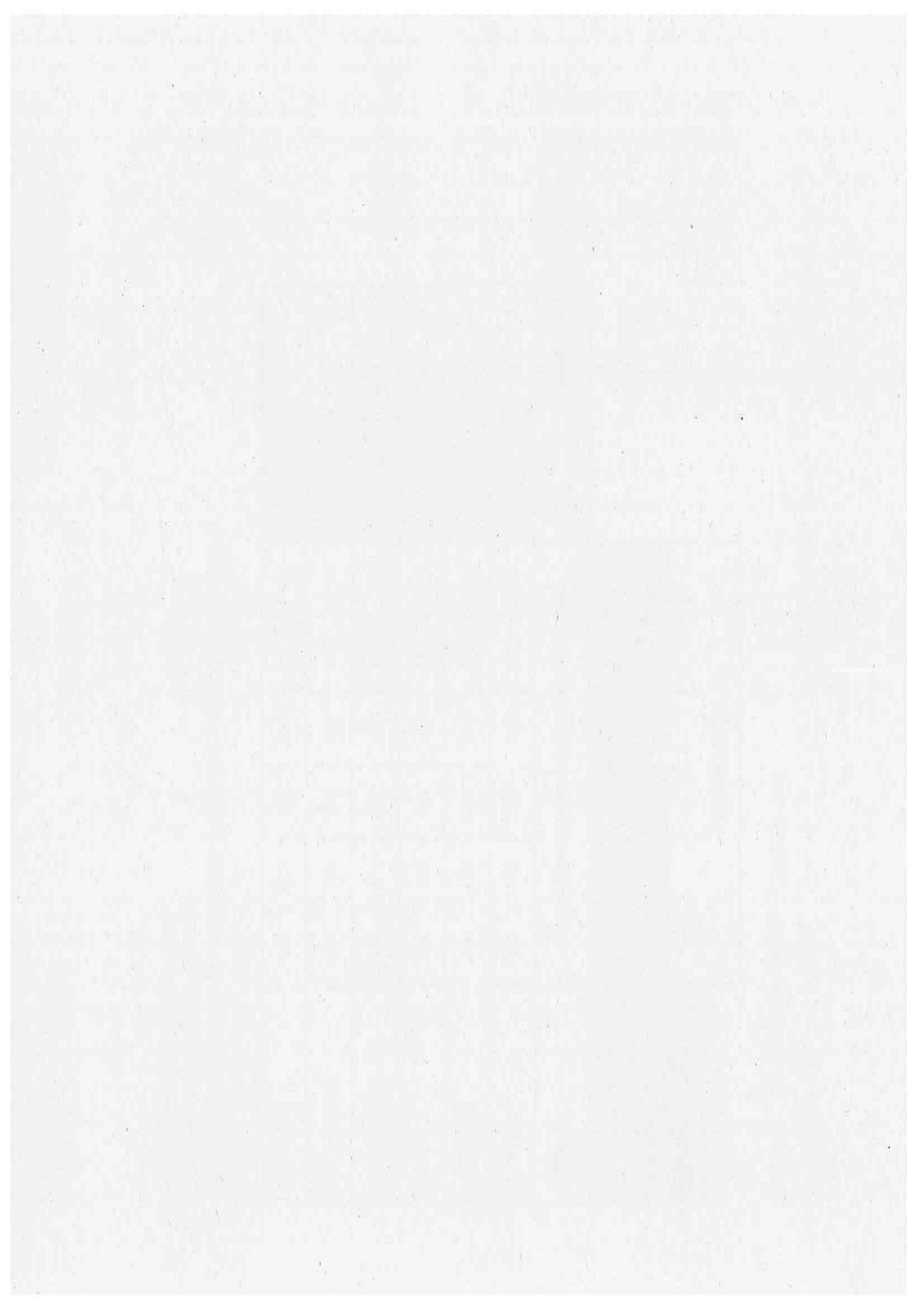
Tabelle 9: Messgerätevergleich - CASTOR V/19

			Mess	Messpunkt				
spektrometrisch	M	MP 2	M	MP 3	M	MP 5		
H*(10) (µSv/h)	4,1	1	36	39,3	13	13,3		
H _{Made} (µSv/h)	2,	2,8	26	26,5	8	8,9		
Gerätetyp *)	1. Za	ıhl: Geräte	anzeige (I	1. Zahl: Geräteanzeige (µSv/h), 2. relative Anzeige	elative Anz	zeige	mittlere relative Dosisanzeige	Abweichung
LB 6411 ¹⁾	4,2	1,02	34,6	0,88	12,2	0,92	0,94	% 9- ··· % 6
FHT 750 ²⁾	5,1	1,24	36,4	0,93	13,5	1,02	1,06	17 %13 %
NG 2 ⁻¹⁾	4,1	1,46	34,9	1,32	14,1	1,58	1,46	% 6 % 6
2202D (88007)	4,0	1,43	30,0	1,13	10,0	1,12	1,23	% 6 % 91
2202D (88008)	4,5	1,61	32,0	1,21	10,0	1,12	1,31	22 %14 %
Harwell N91 1)	6,1	2,18	49,2	1,86	18,7	2,10	2,05	% 6 % 2

⁷ LB 6411 kalibriert für AmBe/ICRP 60; FHT 750 für ²⁵²Cf/ICRP 60; alle anderen für AmBe/ICRP 21

¹⁾ Kalibrierfaktoren gemäß PTB-Kalibrierung

²⁾ Kalibrierfaktor gemäß Herstellerangaben



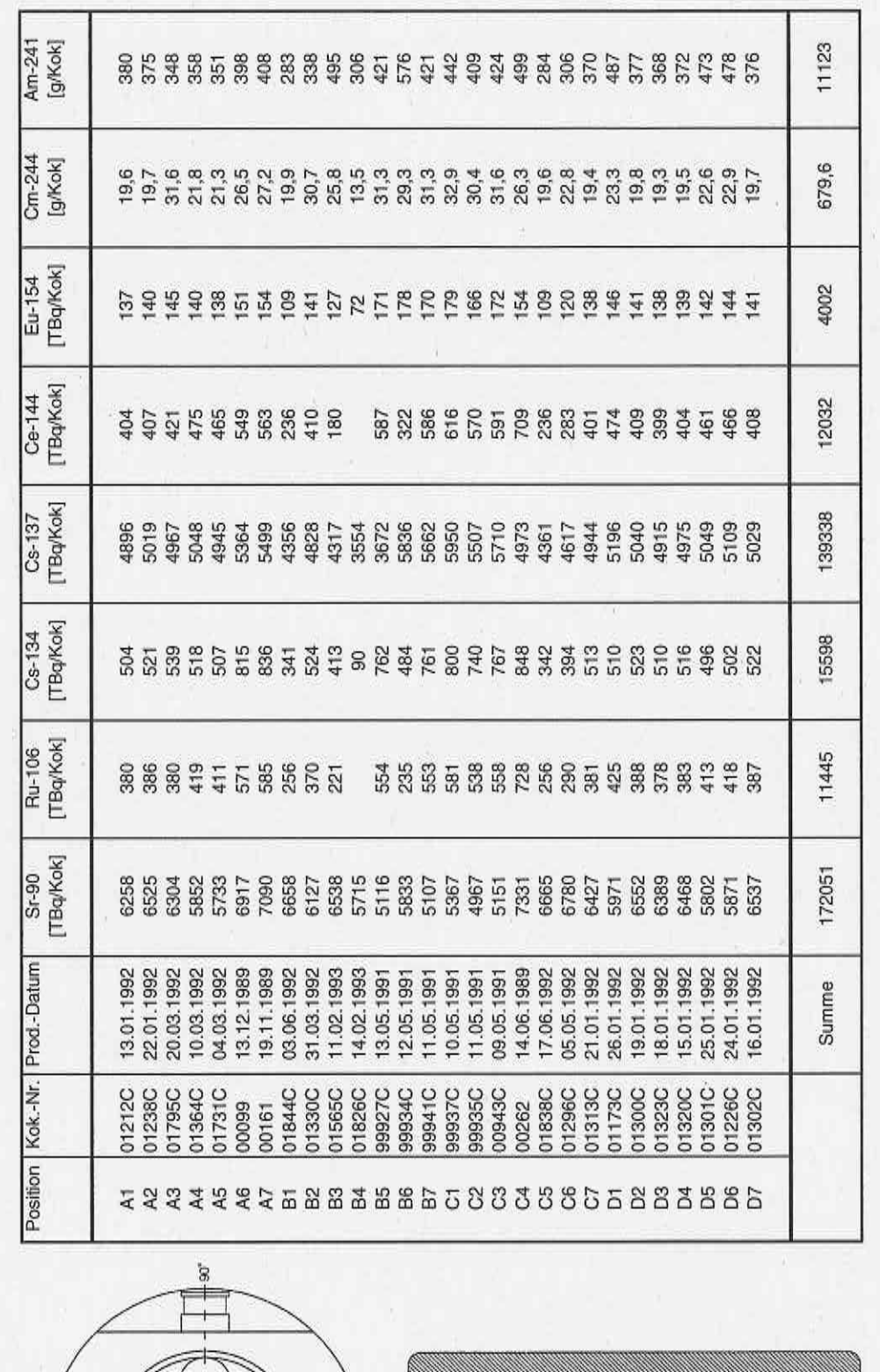
Anlage 1 - Inventare

Tab. 1: Inventar TS 28 V

Tab. 2: Inventar CASTOR HAW-20/28-CG (SN 03)

Tab. 3: Inventar CASTOR V/19 (SN 04)

Tabelle 1: Inventar TS 28 V
Bezugsdatum: Produktionsdatum



180

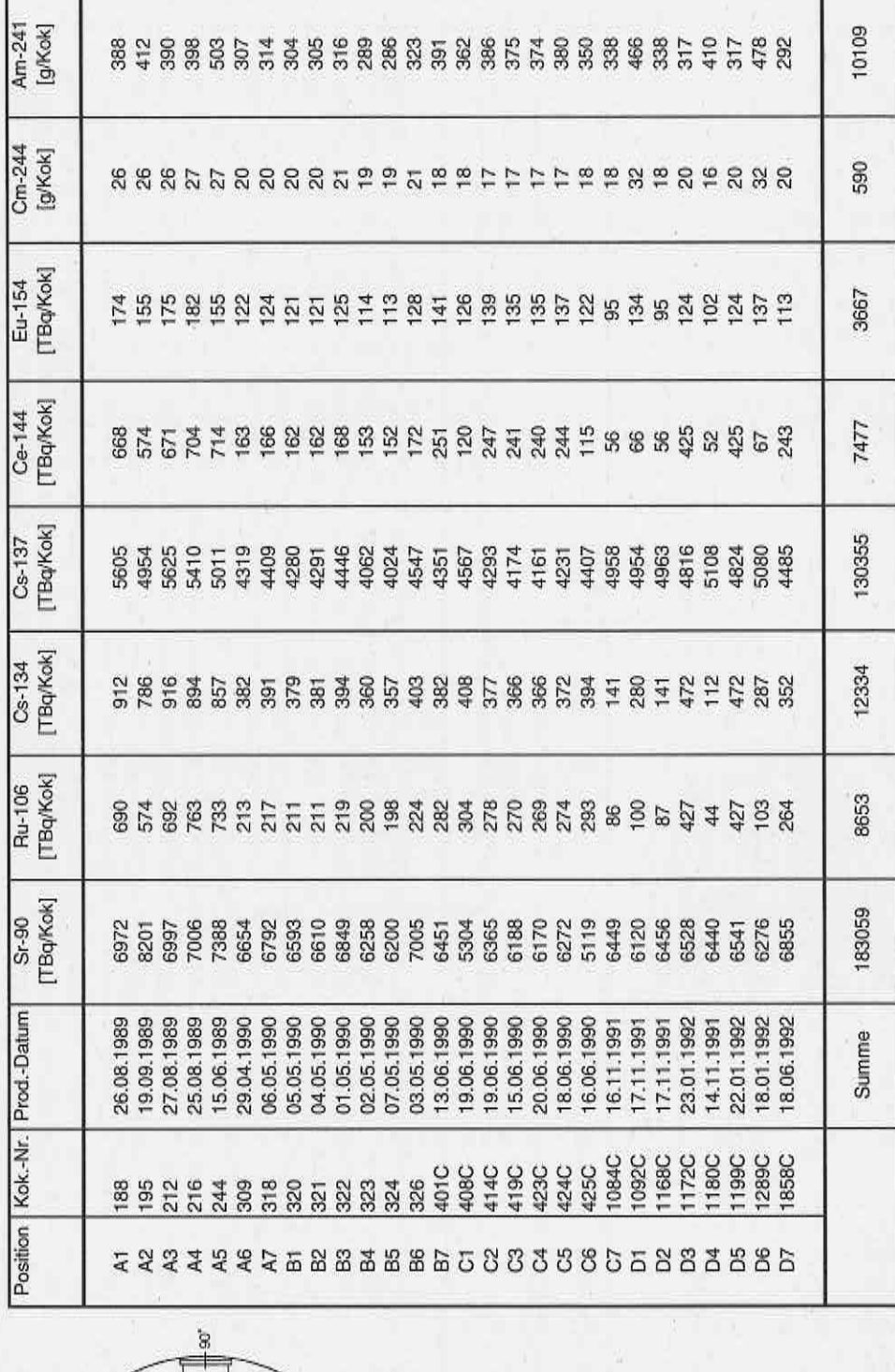
270

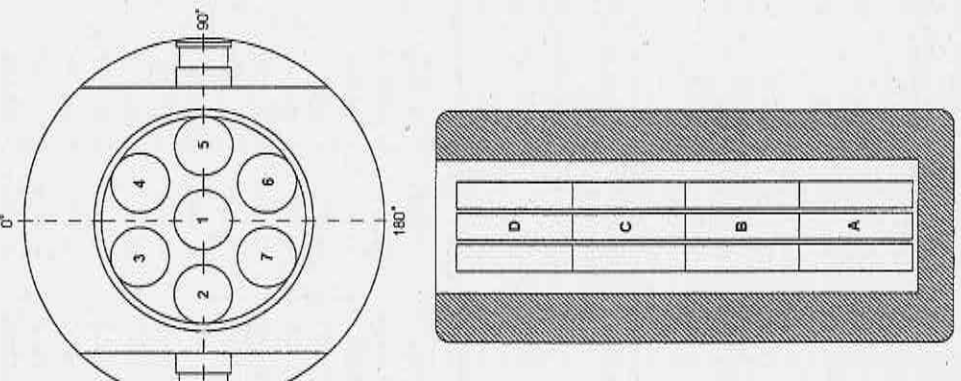
o

(freie Felder: unter Nachweisgrenze)

Tabelle 2: Inventar CASTOR HAW-20/28-CG (SN 03)

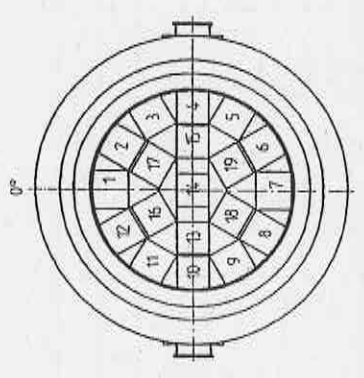
Bezugsdatum: Produktionsdatum





270".

Tabelle 3: Inventar CASTOR V/19 (SN 04)
Bezugsdatum: 01.02.1997



	Neutronenquellstärke	Spektraltyp (α,n)-Reaktion Spontanspaltung	5,93-10	5,93·10 ⁸	5,93·10 ⁸	5,93-10 ⁸	5,93-108	5,93·10 ⁸	5,93·10 ⁸	5,93·10 ⁸	5,93-10 ⁸	5,93·10 ⁸	5,93·10 ⁸	5,93-10 ⁸	2,21-10 ⁸	2,21-10 ⁸	2,21-10 ⁸	4,39.10 ⁸	4,39-10 ⁸	4,39-10 ⁸	4,39·10 ⁸
	Neutroner	Spek (α,n)-Reaktion	9,95·10 ⁶	5,31.10 ⁶	5,31·10 ⁶	5,31·10 ⁶	8,50·10 ⁶	8,50·10 ⁶	8,50.10 ⁶	8,50·10 ⁶											
		3,5 MeV	2,94.1010	2,94.1010	2,94.1010	2,94.1010	2,94.1010	2,94.1010	2,94.1010	2,94.1010	2,94.1010	2,94.1010	2,94.1010	2,94.1010	3,11.1010	3,11.1010	3,11.1010	3,28-1010	3,28.1010	3,28.1010	3,28.10 ¹⁰
iärke SMJ		2,75 MeV	2,29.1011	2,29.10 ¹¹	2,29.1011	2,29.1011	2,29.1011	2,29.10 ¹¹	2,29.1011	2,29.1011	2,29.1011	2,29.1011	2,29.1011	2,29.1011	2,43.1011	2,43.1011	2,43.1011	2,56.1011	2,56.1011	2,56.1011	2,56.10 ¹¹
Quellstärke [1/s·tSM]	ırke	2,25 MeV	6,56.10 ¹²	6,56·10 ¹²	6,56·10 ¹²	6,56.10 ¹²	6,56.10 ¹²	6,56·10 ¹²	6,56·10 ¹²	6,56.10 ¹²	6,56.10 ¹²	6,56-10 ¹²	6,56.1012	6,56.10 ¹²	7,81-10 ¹²	7,81-10 ¹²	7,81·10 ¹²	7,98-10 ¹²	7,98-10 ¹²	7,98.10 ¹²	7,98.10 ¹²
	Gammaquelistārke	Energiegruppe 1,75 MeV	1,09-10 ¹³	9,39.10 ¹²	9,39.10 ¹²	9,39-10 ¹²	1,12.10 ¹³	1,12.1013	1,12·10 ¹³	1,12·10 ¹³											
	Ga	1,25 MeV	3,20.1014	3,20.1014				_	3,20-10 ¹⁴	3,20.1014			3,20.1014			9,000	_		100000		******
		0,85 MeV	1,49.10 ¹⁵	1,49.10 ¹⁵	1,49-1015	1,49.10 ¹⁵	1,49.1015	1,49.1015	1,49.10 ¹⁵	1,49.10 ¹⁵	1,00.10 ¹⁵	1,000-10 ¹⁵	1,000-10 ¹⁵	1,43-10 ¹⁵	1,43.10 ¹⁵	1,43.10 ¹⁵	1,43.10 ¹⁵				
		0,57 MeV	5,88-1015	5,88-1015	5,88-10 ¹⁵	5,88-10 ¹⁵	5,88.1015	5,88-1015	5,88-1015	5,88-1015	5,88-10 ¹⁵	5,88-1015	5,88-10 ¹⁵	5,88-10 ¹⁵	4,26·10 ¹⁵	4,26.10 ¹⁵	4,26.10 ¹⁵	5,60-10 ¹⁵	5,60.10 ¹⁵	5,60.1015	5,60-1015
Aktivitāt	[PBq]		10,286	10,286	10,286	12,506	12,506	12,506	12,506	12,506	12,506	12,506	12,506	12,506	10,286	10,286	10,286	12,321	12,321	12,321	12,321
Abklingzeit	[Monate]		53,5	53,5	53,5	53,5	53,5	53,5	53,5	53,5	53,5	53,5	53,5	53,5	42	42	42	42	42	42	42
Abbrand	[GWd/tsw]		33,744	33,872	34,004	33,755	32,041	31,776	31,993	32,557	32,335	31,868	31,571	32,43	23,972	23,619	23,907	31,521	31,562	31,562	31,411
ursprüngliche Anreicherung	[%]		2,501	2,501	2,501	2,501	2,501	2,501	2,501	2,501	2,501	2,501	2,501	2,501	1,902	1,902	1,902	2,501	2,501	2,501	2,501
BE-Nr.			A224 V	A227 N	A228 L	A231 Y	A354 D	A357 6	A360 K	A379 V	A3843	A403 T	A406 L	A409 D	A162 S	A1788	A182 K	A225 T	A226 R	A229 J	A230 1
Pos.	1		-	2	က	4	2	9	7	œ	6	9	F	12	13	4	15	16	17	48	6

Anlage 2 - Messprotokolle

Messprotokoll TS 28 V

Messprotokoll CASTOR V/19

Messprotokoll CASTOR HAW-20/28-CG

Ort:

Brennelementlager Gorleben

Zeit:

17./18.09.1996 TS28V-001

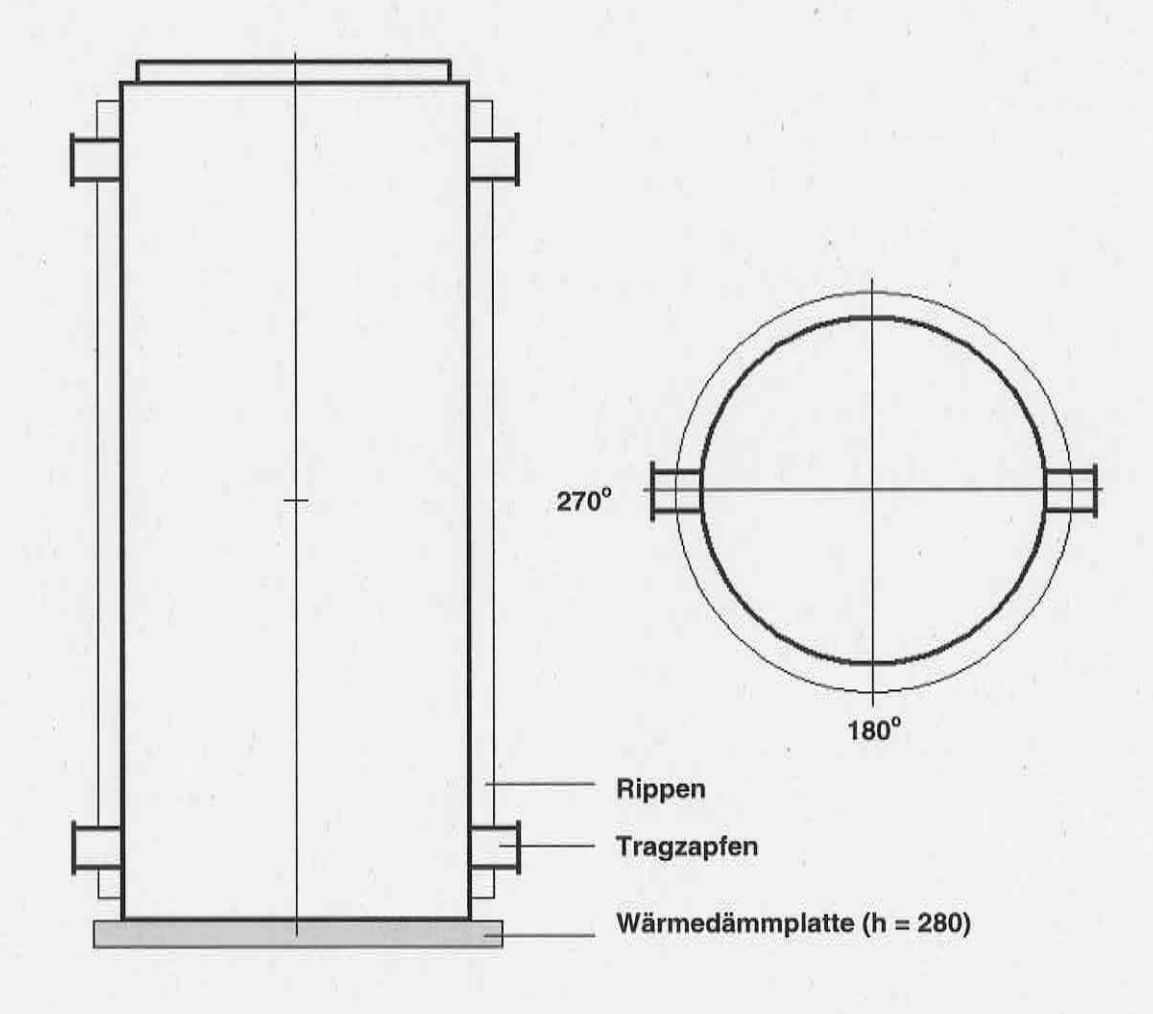
Behälter:

(Lagerkonfiguration) Börst

Teilnehmer:

Scheib

Skizze:



Messgeräte:

	Geräte- nummern	Kalibrierfaktoren nach Hersteller	Kalibrierfaktoren nach PTB (Am-Be)
BfS:			
Harwell N91	011	1 Imp. = 1,1574 nSv	1,23
Harwell 0949	H31	1 Imp. = 1,1574 nSv	1,53
NG2 (,Snoopy')	NG-195101		1,013
LB 6411 ⁷	4670-1001	Anzeige in [Imp/s] · 1,4 = Dosisleistung in [μSv/h]	0,845
FH 40 F2	006914		
Szintomat 6134A	77761		
BLG:			
Harwell		1 Imp. = 1,1574 nSv	
NM2			
LB 6411 ^{')}		Anzeige in [Imp/s] · 1,27 = Dosisleistung in [μSv/h]	
Szintomat 6134	84334	Let Man To	

^{*)} Kalibrierung auf H*(10)

Höhenprofil

Messort 1)	Harwel	I N 91	Harwell	0949	FH 40	Szintomat
[cm]	Impulse	Zeit [s]	Impulse	Zeit[s]	[µSv/h]	[μSv/h]
75	2746	660	2702	720	16 ± 0,8	12
100	3195	660	2524	600	18,5 ± 0,8	16
125	2292	420	1505	300	25 ± 1	18
150	2484	420	2140	400	24 ± 1	19
175	1266	240	1046	210	21 ± 1	18
200	2548	540	1702	360	21 ± 1	17
225	1512	360	3134	790	20 ± 0,5	17
250	1479	360	1029	260	20 ± 1	17,5 ± 0,5
320 ²⁾	2061 23704	360 4260	2756	600	22 ± 1,5	18

¹⁾ Messort: 180°-Achse, 30 cm Abstand von Rippenoberkante zur Kugelmitte bzw. Detektor Höhe über Boden TBL (Behälter steht auf Wärmedämmplatte h= 28 cm)

²⁾ Ebene für Vergleichsmessungen ⇒ MP3

Abstandsmessungen (Ebene 3,20 m)

Abstand	Harwell	I N 91	FH 40	Szintomat
[cm]	Impulse	Zeit [s]	[µSv/h]	[µSv/h]
16	1076	180		
25	1007	180		
30	937	180		
35	886	180		
40	884	180		
100	1193	360	14 ± 1	13 ± 1
300	1054	600	7 ± 0,5	5,5 ± 0,5
400	1053	720	4,5 ± 0,5	4 ± 0,5
500	3561	2880	4 ± 0,5	3 ± 0,5
1000	903	1200		
2000	511	1800		

Vergleichsmessungen am Messort MP1 (Deckel, direkt, Achse 90°)

Messgerät	Werte
Harwell N 91	8213 Imp. Messdauer: 60 s
Harwell 0949	9024 Imp. Messdauer: 51 s
LB 6411 (BLG)	369 Imp/s Messdauer: 100 s Fehler: 1,0%
NG2	 a) 643 μSv/h - liegend b) 518 μSv/h - stehend 631 μSv/h - liegend 12,7 μSv/h - γ-Dosisleistung
NM2	a) 616,6 μSv/h b) 609,1 μSv/h c) 616 μSv/h
FH 40	16,5 ± 0,8 μSv/h
Szintomat	13 ± 1 μSv/h

Vergleichsmessungen am Messort MP2 (Deckelmitte, 32 cm Abstand Oberfläche zur Kugelmitte)

Messgerät	Werte
Harwell N 91	3573 Imp. Messdauer: 120 s
Harwell 0949	2950 lmp. Messdauer: 100 s
Harwell 0949 (BLG)	2833 Imp. Messdauer: 100 s
LB 6411	68 Imp/s Messdauer: 100 s Fehler: 1,2%
LB 6411 (BLG)	70 Imp/s Messdauer: 100 s Fehler: 1,2%
NG2	113 ± 1 μSv/h
NM2	a) 100,3 μSv/h b) 100,6 μSv/h c) 101,1 μSv/h d) 103,2 μSv/h e) 106,4 μSv/h f) 107 μSv/h g) 102 μSv/h
FH 40	8 ± 1 μSv/h
Szintomat	5,5 ± 0,5 μSv/h

Vergleichsmessungen am Messort MP3

Messgerät	Werte
Harwell N 91	2061 Imp. Messdauer: 360 s
	23704 Imp. Messdauer: 4260 s
Harwell 0949	2756 lmp. Messdauer: 600 s
Harwell 0949 (BLG)	3012 lmp. Messdauer: 600 s
LB 6411	15,9 lmp/s Messdauer: 600 s Fehler: 1,0%
LB 6411 (BLG)	15,0 lmp/s Messdauer: 600 s Fehler: 1,1%
NG2	18,8 μSv/h
NM2	a) 15,0 μSv/h b) 17,5 μSv/h c) 18,7 μSv/h d) 14,6 μSv/h
FH 40	22 ± 1,5 μSv/h
Szintomat	18 μSv/h
Szintomat (BLG)	17 μSv/h

Vergleichsmessungen am Messort MP5 (2 m Abstand)

Messgerät	Werte
Harwell N 91	2262 Imp. Messdauer: 960 s
Harwell 0949	1929 Imp. Messdauer: 860 s
Harwell 0949 (BLG)	1852 Imp. Messdauer: 860 s
LB 6411	7,4 Imp/s Messdauer: 300 s Fehler: 2,1%
LB 6411 (BLG)	6,8 Imp/s Messdauer: 300 s Fehler: 2,2%
NG2	8,92 μSv/h - stehend 9,4 μSv/h - liegend 8,1 μSv/h - γ-Dosisleistung
NM2	a) 7,8 μSv/h b) 7,6 μSv/h c) 7,4 μSv/h d) 7,5 μSv/h
FH 40	10 ± 1 μSv/h
Szintomat	7,5 ± 0,5 μSv/h
Szintomat (BLG)	6,5 7 μSv/h

Sonstige Messungen

Messungen am Deckel (90°-Achse, 30 cm seitlich, 40 cm hoch)

Messgerät	Werte		
Harwell N 91	2553 Imp. Messdauer: 60 s		
Harwell 0949	2933 Imp. Messdauer: 60 s		
LB 6411 (BLG)	112 Imp/s Messdauer: 100 s Fehler: 1,0%		
NM2	a) 145,1 μSv/h b) 144,9 μSv/h c) 150 μSv/h		
FH 40	6 ± 0,5 μSv/h		
Szintomat	5,5 ± 0,5 μSv/h		

Tragzapfen, unten - (270°-Achse, 30 cm Abstand von verlängertem Behälterkörper zur Kugelmitte):

Messgerät	Werte		
Harwell N 91	4181 lmp. Messdauer: 180 s		
Harwell 0949	4135 lmp. Messdauer: 200 s		
LB 6411	69 Imp/s Messdauer: 300 s Fehler: 1,0%		
FH 40	37 ± 2 μSv/h		
Szintomat	30 ± 2 μSv/h		

direkt rechts neben Tragzapfen, unten (270°-Achse in Richtung 180°-Achse, 30 cm Abstand von verlängertem Behälterkörper zur Kugelmitte):

Messgerät	Werte		
Harwell N 91	4727 Imp. Messdauer: 180 s		
Harwell 0949	2488 Imp. Messdauer: 100 s		
LB 6411	71,6 Imp/s Messdauer: 300 s Fehler: 1,0%		
FH 40	21 ± 0,5 μSv/h		
Szintomat	18 μSv/h		

Ort:

Gemeinschaftskraftwerk Neckar

Zeit:

18.02.1997

Behälter:

CASTOR V/19-004

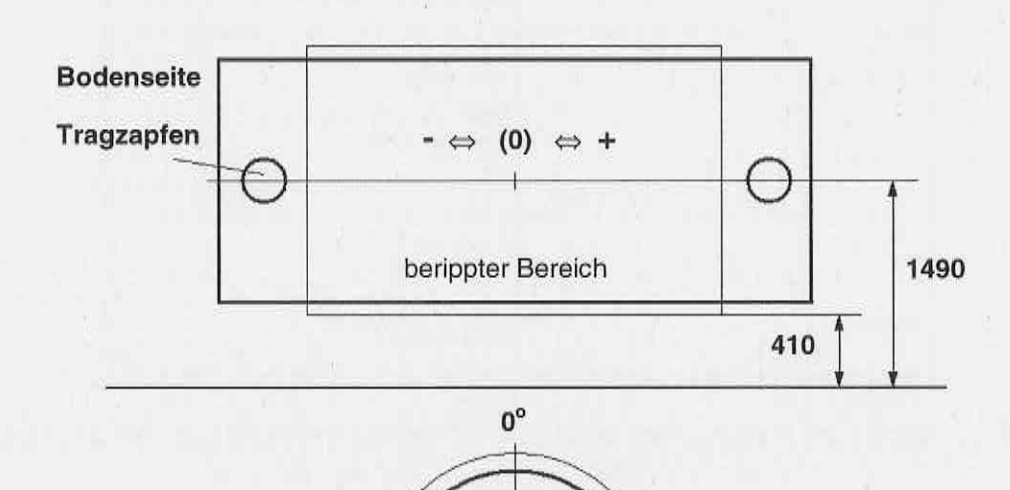
(Transportkonfiguration ohne Stoßdämpfer, liegend im Transportgestell)

Teilnehmer:

Börst Scheib

001

Skizze:



Deckel

Messgeräte:

	Geräte- nummern	Kalibrierfaktoren nach Hersteller	Kalibrierfaktoren nach PTB (Am-Be)	
BfS:				
Harwell N91	011	1 Imp. = 1,1574 nSv	1,23	
NG2 (,Snoopy')	NG-195101		1,013	
LB 6411 ¹⁾	4670-1001	Anzeige in [Imp/s] · 1,4 = Dosisleistung in [μSv/h]	0,845	
FHT 750 (,Biorem') 2)			1	
FH 40 F2	006914		i i	
Szintomat 6134A	77761			
AD5				
RGD 27040				
GKN:				
Alnor 2202D	88007			
Alnor 2202D	88008			

¹⁾ Kalibrierung auf H (10) - AmBe ²⁾ Kalibrierung auf H (10) - ²⁵²Cf sonstige Geräte gemäß Herstellerangaben

Höhenprofil

Messort 1)	Harwel	I N 91	FH 40	Szintomat	
	Impulse	Zeit [s]	[µSv/h]	[μSv/h]	
-5	4262	450	65 ± 5	50	
-4	4285	570	105 ± 5	95	
-3	2247	360	66 ± 3	60	
-2	2848	330	80 ± 3	70	
-1	2497	270	85 ± 5	75	
O ²⁾	4617 2296	480 240	80,5 ± 2,5	65	
+1	2301	240	85 ± 5	58	
+2	3712	420	82 ± 4	55	
+3 *)	3206	555	70 ± 5	50	
+4	2264	585	280 ± 10	280	
+5 **)	2508	720	80 ± 5	79	

1) Messort: 270°-Achse, 30 cm Abstand von Rippenoberkante (*) 35 cm) zur Kugelmitte bzw. Detektor

Höhe über Boden 1,49 m

Messort 0 ⇒ Behältermitte (= 2,93 über Boden)

Messort +1 ⇒ vom Messort 0: 50 cm in Richtung Deckel Messort -1 ⇒ vom Messort 0: 50 cm in Richtung Boden

**) Mitte oberer Tragzapfen

2) Ebene für Vergleichsmessungen ⇒ MP3

Vergleichsmessungen am Messort MP2 (Deckelmitte)

Messgerät	Werte		
Harwell N91	1539 lmp. Messdauer: 1290 s		
LB 6411	3,51 lmp/s Messdauer: 1200 s Fehler: 1,5%		
NG2	4,0 μSv/h		
FHT 750	5,09 μSv/h		
2202D (88007)	4,0 μSv/h		
2202D (88008)	4,5 μSv/h		
FH 40	13 ± 1 μSv/h		
AD5	11 μSv/h ± 2%		
Szintomat	11 μSv/h		
RGD 27040	11 μSv/h		

Vergleichsmessungen am Messort MP3

Messgerät	Werte		
Harwell N 91	4617 Imp. Messdauer: 480 s		
	2296 Imp. Messdauer: 240 s		
LB 6411	30,7 lmp/s Messdauer: 300 s Fehler: 1,0%		
	29,2 Imp/s Messdauer: 300 s Fehler: 1,1%		
	28,6 lmp/s Messdauer: 300 s Fehler: 1,1%		
	28,6 lmp/s Messdauer: 300 s Fehler: 1,1%		
NG2	34,5 μSv/h 52 μSv/h - γ-Dosisleistung		
FHT 750	36,4 μSv/h		
2202D (88007)	30 μSv/h		
2202D (88008)	32 μSv/h		
FH 40	80,5 ± 2,5 μSv/h		
AD5	75 μSv/h ± 3%		
Szintomat	65 μSv/h		
RGD 27040	63 μSv/h		

Vergleichsmessungen am Messort MP5 (2 m Abstand)

Messgerät	Werte		
Harwell N91	1097 Imp. Messdauer: 300 s		
LB 6411	10,3 lmp/s Messdauer: Fehler: 1,3%		
NG2	$13.9\pm0.2~\mu$ Sv/h		
FHT 750	13,5 μSv/h		
2202D (88007)	10 μSv/h		
2202D (88008)	10 μSv/h		
FH 40	37 ± 2 μSv/h		
AD5	35 μSv/h		
Szintomat	28,5 ± 0,5 μSv/h		
RGD 27040	32 μSv/h		

Sonstige Messungen:

Messungen von γ -Hot Spots

Messort	FH 40
(Oberfläche direkt, 270°-Achse, Behälter unten)	[μSv/h]
vor -5 (in Richtung -4)	40
untere Abfräsung	250
Abfräsung direkt	100
linker Rand 1. Rippe	750

Messort	FH 40
(Oberfläche direkt, 270°-Achse, Behälter oben)	[µSv/h]
(+4)	850
rechts neben letzter Rippe in Richtung (+4)	750
(+4) + 10 cm	900
(+4) + 20 cm	600
(+4) + 10 cm in Richtung 0° (Oberseite)	680
(+4) + 20 cm in Richtung 0° (Oberseite)	450
(+4) - 10 cm in Richtung 180° (Unterseite)	680
(+4) - 20 cm in Richtung 180° (Unterseite)	300

Ort:

Brennelementlager Gorleben 08./09.04.1997

Zeit:

Behälter:

CASTOR HAW-20/28-CG-03

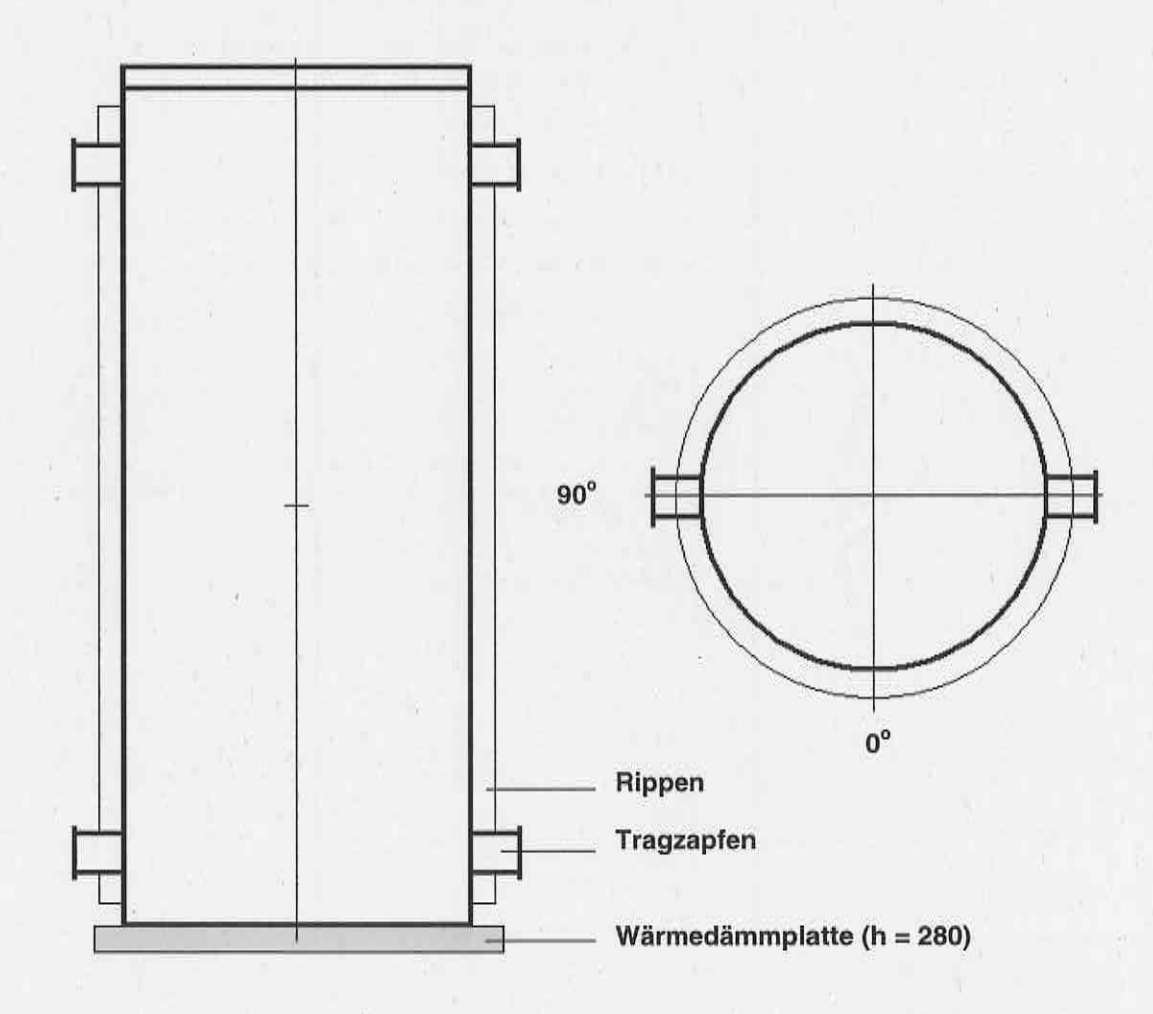
(Lagerkonfiguration)

Teilnehmer:

Börst

Scheib

Skizze:



Messgeräte:

	Geräte- nummern	Kalibrierfaktoren nach Hersteller	Kalibrierfaktoren nach PTB (Am-Be)	
BfS:				
Harwell N9	011	1 Imp. = 1,1574 nSv	1,23	
Harwell 0949	H31	1 Imp. = 1,1574 nSv	1,53	
NG2 (,Snoopy')	NG-195101		1,013	
LB 6411 ¹⁾	4670-1001	Anzeige in [Imp/s] · 1,4 = Dosisleistung in [μSv/h]	0,845	
FHT 750 (,Biorem') 2)				
FH 40 F2	006914			
AD5				
Szintomat 6134A	77761			
BLG:				
NM2				
LB 6411 ¹⁾		Anzeige in [lmp/s] · 1,27 = Dosisleistung in [μSv/h]	i in in in in in	

¹⁾ Kalibrierung auf H (10) - AmBe 2) Kalibrierung auf H (10) - ²⁵²Cf sonstige Geräte gemäß Herstellerangaben

Höhenprofil

Messort 1)	Harwell N 91		Harwell 0949		FH 40	Szintomat
[cm]	Impulse	Zeit [s]	Impulse	Zeit[s]	[μSv/h]	[µSv/h]
77	4403 4252	180 182	2609	120	88 ± 3	70
100	4810	180	2985	120	39 ± 1	35
125	2990	105	2377	90	37,5 ± 2,5	38
150	3052	105	3203	120	39,5 ± 2,5	38
175	5984	225	3197	120	34,5 ± 1,5	40
200	3801	151	4383	180	29 ± 2	28
225	6022	240	2783	120	30,5 ± 1,5	29
250	5041	210	3281	140	30 ± 1	28
275	3536	150	3124	140	29,5 ± 1,5	29
300	2762	120	2110	100	23 ± 1	22
325	2158	120	2059	100	23 ± 2	21
350	2477	120	2359	120	23,5 ± 1,5	23
375	2501	120	2255	120	24 ± 2	23
400	2424	120	2204	120	23,5 ± 1,5	22
425	3985	210	2122	120	20 ± 1	20
450	2387	120	2258	120	22,5 ± 1,5	20

¹⁾ Messort: 30°-Achse, 30 cm Abstand von Rippenoberkante zur Kugelmitte bzw. Detektor Höhe über Boden TBL (Behälter steht auf Wärmedämmplatte h= 28 cm)

Radialprofil

Messort 1)	Harwell N 91		Harwell 0949		FH 40	Szintomat
Winkel [°]	Impulse	Zeit [s]	Impulse	Zeit[s]	[μSv/h]	[μSv/h]
0	3045	105	4938	180	46,5 ± 1,5	38
15	2624	90	2542	90	47,5 ± 2,5	38
30	2726	90	2565	90	49,5 ± 2,5	40
45	2534	90	2456	90	46 ± 2	39
60	4292	150	4316	160	46 ± 2	37
75	3351	120	3194	120	44 ± 2	38
90	2603	90	2335	89	48,5 ± 2,5	40
105	2473	90	2297	90	46,5 ± 2,5	38
120	2336	90	2199	90	42 ± 2	31
135	2272	90	2163	90	37,5 ± 1,5	29
150	2267	90	2640	115	40,5 ± 2,5	31
165	2216	90	2097	90	37 ± 2	30
180	2104	90	2294	100	35 ± 3	29
195	2444	105	2659	120	37,5 ± 2,5	30
210	2395	105	2285	100	41 ± 3	32
225	2195	90	2110	90	39 ± 2	. 31
240	2605	105	2294	100	39 ± 3	31
255	2350	90	2940	120	42,5 ± 2,5	38
270	2414	90	2326	90	49,5 ± 2,5	40
285	2487	90	2274	90	45,5 ± 2,5	38
300	2500	90	2353	90	44,5 ± 2,5	38
315	2924	105	2541	100	46 ± 3	39
330	2493	90	2416	90	47,5 ± 2,5	41
345	3425	120	2755	100	46,5 ± 3,5	38
360	2600	90	2160	80	48 ± 2	38

Messort: 30 cm Abstand von Rippenoberkante zur Kugelmitte bzw. Detektor
 132 cm über Boden TBL (Behälter steht auf Wärmedämmplatte h= 28 cm)
 (Winkel linksläufig)

Abstandsmessungen (Ebene 306 cm (incl. Wärmedämmplatte)

Abstand	Harwe	II N 91	Harwe	11 0949	FH 40	AD5	Szintomat
[cm]	Impulse	Zeit [s]	Impulse	Zeit [s]	[μSv/h]	[μSv/h]	[μSv/h]
1000	1999	1260	1893	1300	2,2 ± 0,2		2,7 ± 0,1
1000 *)	3073	2700			2,25 ± 0,25		2,1 ± 0,1
2000	1193	2161	1099	2200	1,3 ± 0,1	1,33 ± 2,5%	1,15 ± 0,15
2000 ")	559	1440			1,0 ± 0,2		1,0 ± 0,1
3000	480	1980	503	2015	0,85 ± 0,25	0,7 ± 2%	0,65 ± 0,05

^{*)} Messgeräte am Boden stehend

Vergleichsmessungen am Messort MP1 (Deckelrand, 30 cm über Deckel, Achse 30°)

Messgerät	Werte	
Harwell N91	2706 lmp. Messdauer: 95 s	
Harwell 0949	2911 Imp. Messdauer: 97 s	
LB 6411	89,5 μSv/h	
LB 6411 (BLG)	81 μSv/h	
NG2	99 μSv/h	
NM2	98,2 μSv/h	
FHT 750	93 μSv/h	
FH 40	2,3 μSv/h	

Vergleichsmessungen am Messort MP2 (Deckelmitte, 32 cm Abstand Oberfläche zur Kugelmitte)

Messgerät	Werte		
Harwell N91	1799 Imp. Messdauer: 186 s		
Harwell 0949	1552 Imp. Messdauer: 163 s		
LB 6411	30,5 μSv/h		
LB 6411 (BLG)	27,0 μSv/h		
NG2	30 μSv/h		
NM2	$31\pm2~\mu Sv/h$		
FHT 750	$35\pm0,5~\mu\text{Sv/h}$		
FH 40	3,3 μSv/h		

Vergleichsmessungen am Messort MP3 (30°-Achse, Behälter halbe Höhe - 306 cm incl. Wärmedämmplatte)

Messgerät	Werte		
Harwell N91	2279 Imp. Messdauer: 105 s		
Harwell 0949	2243 Imp. Messdauer: 110 s		
LB 6411	96,0 μSv/h ± 1,6%		
LB 6411 (BLG)	77,0 μSv/h ± 1,8%		
NG2	72,5 μSv/h		
NM2	72,2 μSv/h		
FHT 750	85,4 μSv/h		
AD5	29 μSv/h ± 2%		

Vergleichsmessungen am Messort MP5 (2 m Abstand; 0°-Achse, Behälter halbe Höhe - 306 cm incl. Wärmedämmplatte)

Messgerät	Werte	
Harwell N91	1834 Imp. Messdauer: 240 s	
Harwell 0949	2003 Imp. Messdauer: 218 s	
LB 6411	39,0 μSv/h	
LB 6411 (BLG)	32,5 μSv/h	
NG2	31 μSv/h	
NM2	31 ± 2,5 μSv/h	
FHT 750	34,5 μSv/h	
FH 40	14 μSv/h	

Vergleichsmessungen am Messort MP6 (5 m Abstand; 0°-Achse, Behälter halbe Höhe - 306 cm incl. Wärmedämmplatte)

Messgerät	Werte	
Harwell N91	1246 Imp. Messdauer: 300 s	
Harwell 0949	1111 Imp. Messdauer: 300 s	
LB 6411	17,2 lmp/s Messdauer: 200 s Fehler: 2,0%	
LB 6411 (BLG)	10,6 lmp/s Messdauer: 200 s Fehler: 2,2%	
NG2	15 μSv/h	
NM2	14,4 ± 0,4 μSv/h	
FHT 750	14,4 μSv/h	
Szintomat	7,0 μSv/h	
FH 40	6,8 ± 0,2μSv/h	

Sonstige Messungen:

Mitte Tragzapfen, unten - (270°-Achse, 30 cm Abstand von Rippenoberfläche zur Kugelmitte, das entspricht 24 cm von Tragzapfenoberfläche zur Kugelmitte, Höhe über Boden - incl. Wärmedämmplatte 50 cm):

Messgerät	Werte	
Harwell N 91	3158 Imp. Messdauer: 195 s	
Harwell 0949	2089 Imp. Messdauer: 135 s	
FH 40	18 ± 1 μSv/h	
Szintomat	18 μSv/h	

Tragzapfen, unten - (270°-Achse, 30 cm Abstand von Rippenoberfläche zur Kugelmitte, das entspricht 24 cm von Tragzapfenoberfläche zur Kugelmitte, Höhe über Boden - incl. Wärmedämmplatte 80 cm):

Messgerät	Werte
Harwell N 91	2674 Imp. Messdauer: 120 s
Harwell 0949	2088 Imp. Messdauer: 100 s
FH 40	60 ± 5 μSv/h
Szintomat	51 μSv/h

Liste der bisher erschienenen BfS-ET-Berichte

BfS-ET-1/90

Brennecke, P.; Schumacher, J. Anfall radioaktiver Abfälle in der Bundesrepublik Deutschland -Abfallerhebung für das Jahr 1989-Braunschweig 1990

BfS-ET-2/90

Fortschreibung des Zusammenfassenden Zwischenberichtes über bisherige Ergebnisse der Standortuntersuchung Gorleben im Mai 1983. Salzgitter 1990

BfS-ET-3/90

Brennecke, P.; Warnecke, E. Anforderungen an endzulagernde radioaktive Abfälle (Vorläufige Endlagerungsbedingungen, Stand: April 1990) - Schachtanlage Konrad -. Salzgitter, April 1990

BfS-ET-3/90-REV-1

Brennecke, P.; Warnecke, E. Anforderungen an endzulagernde radioaktive Abfälle (Vorläufige Endlagerungsbedingungen, Stand: April 1990 in der Fassung Juli 1991)

- Schachtanlage Konrad -. Salzgitter, Juli 1991

BfS-ET-3/90-REV-2 Brennecke, P. (Hrsg.)

Anforderungen an endzulagernde radioaktive Abfälle (Vorläufige Endlagerungsbedingungen, Stand: April 1990 in der Fassung Oktober 1993)

Schachtanlage Konrad -.
 Salzgitter, Oktober 1993

BfS-ET-3/90-REV-3 Brennecke P. (Hrsg.)

Anforderungen an endzulagernde radioaktive Abfälle (Endlagerungsbedingungen, Stand: September 1994) - Schachtanlage Konrad -. Salzgitter, September 1994

BfS-ET-4/90

Brennecke, P.; Warnecke E.
Requirements on radioactive wastes for disposal.
Aktualisierter PTB-Bericht PTB-SE-17.
Im Druck

BfS-ET-5/90

Berg, H.P.

Vereinfachte Überprüfung der Einhaltung von Aktivitätsbegrenzungen für in das Endlager Konrad einlagerbare Abfallgebinde auf der Basis der Neufassung der Strahlenschutzverordnung. Salzgitter, April 1990

BfS-ET-5/90-REV-1

-: Erste revidierte Auflage von BfS-ET-5/90. Salzgitter, August 1991

BfS-ET-6/90

Berg, H.P.; Brennecke, P.
The Konrad Mine. The Planned German Repository for Radioactive Waste with Negligible Heat Generation.
Salzgitter 1990

BfS-ET-7/90

Berg, H.P.; Lange, F.

Vorgehensweise bei der Ableitung von Aktivitätsgrenzwerten aus den Ergebnissen der Störfallanalysen und Auswirkungen der Revision der Strahlenschutzverordnung und der zugehörigen Berechnungsgrundlagen.

Salzgitter, August 1990

BfS-ET-8/91

Piefke, F.; Wollrath, J.

Berechnung der Diffusion von Wasserstoff aus einer Einlagerungskammer in das umgebende Gestein.

Analytische Lösungen der zeitabhängigen Diffusionsgleichung im Außenraum eines unendlich langen Zylinders, im Halbraum, in einer Wand und im Außenraum einer Kugel mit konstanten Konzentrationen an den Rändern.

Salzgitter, April 1991

BfS-ET-9/91

Berg, H.P.; Fischer, H.; Piefke, F.

ANKONA. Programm zur rechnerischen Überprüfung an im geplanten Endlager Konrad einzulagernde radioaktive Abfälle. Version November 1990. Salzgitter, Mai 1991

BfS-ET-10/91

Brennecke, P.; Martens, B.-R. (Hrsg.) Endlagerungsbedingungen und Produktkontrolle. Salzgitter, Juli 1991

BfS-ET-11/91

Warnecke, E.; Hollmann, A. Anfall radioaktiver Abfälle in der Bundesrepublik Deutschland - Abfallerhebung für das Jahr 1990 -. Salzgitter, Oktober 1991

BfS-ET-12/92

Kugel, K.; Brennecke, P.; Giller, H. (Hrsg.)
Entsorgung radioaktiver Abfälle.
Vorträge der Informationsveranstaltung am 25. und
26. November 1991 im BfS, Berlin.
Salzgitter, Juni 1992
BfS-ET-13/92

Wollrath, J.; Arens, G.

INTRAVAL Phase 2: Untersuchungen zum Einfluß der Dichteschichtung auf das Strömungsverhalten am Beispiel des Pumpversuchs "Weißes Moor". Salzgitter, Juni 1992

BfS-ET-14/92

Kugel, K.; Noack, W.; Giller, H. (Bearbeiter)
Anforderungen an endzulagernde radioaktive
Abfälle und Maßnahmen zur Produktkontrolle
radioaktiver Abfälle. Endlager für radioaktive Abfälle
Morsleben (ERAM), Stand: Juli 1992.
Salzgitter, Juli 1992

BfS-ET-14/92-REV-1

Kugel, K.; Noack, W.; Bard, Ch.; Giller, H.; Martens, B.-R. (Bearbeiter)

Anforderungen an endzulagernde radioaktive Abfälle und Maßnahmen zur Produktkontrolle radioaktiver Abfälle. Endlager für radioaktive Abfälle Morsleben (ERAM). Stand: November 1992. Salzgitter, März 1993

BfS-ET-14/92-REV-2

Kugel, K.; Noack, W.; Bard, Ch.; Giller, H.; Martens, B.-R.; Brennecke, P. (Bearbeiter)
Anforderungen an endzulagernde radioaktive Abfälle und Maßnahmen zur Produktkontrolle radioaktiver Abfälle. Endlager für radioaktive Abfälle Morsleben (ERAM). Teil I: Endlagerungsbedingungen. Stand: September 1993.
Salzgitter, September 1993

BfS-ET-15/92

Börst, F.-M.; Rimpler, A. Strahlungsmessung an einem Transportbehälter für die Beförderung abgebrannter Brennelemente. Salzgitter. November 1992

BfS-ET-16/92

Wollrath, J.; Arens, G.
INTRAVAL Phase 2: Investigations into the influence of the density stratification on groundwater flow by the example of pumping test "Weisses Moor".

Salzgitter, November 1992

BfS-ET-17/93

Hollmann, A.; Brennecke, P. Aufkommen radioaktiver Abfälle in Deutschland. Abfallerhebung für das Jahr 1991. Salzgitter, Februar 1993

BfS-ET-18/93

Hollmann, A.; Tittel, G. (Hrsg.)
Nuklidmigration im Deckgebirge des Endlagerortes
Gorleben.

Vorträge eines Fachgespräches zu Fragen des Radionuklidmigration und Langzeitsicherheit des geplanten Endlagers Gorleben am 3. Juni 1992 im Bundesamt für Strahlenschutz. Salzgitter, November 1993

BfS-ET-19/94

Martens, B.-R. (Hrsg.)
Produktkontrolle radioaktiver Abfälle - Schachtanlage Konrad-, Stand: Januar 1994,
Salzgitter, Januar 1994

BfS-ET-20/94

Hollmann, A.

Aufkommen radioaktiver Abfälle in Deutschland. Abfallerhebung für das Jahr 1992. Salzgitter, Januar 1994

BfS-ET-21/94

Ehrlich, D.; Theis, K.-P.; Wohanka, A. Beschreibung und Ergebnisse der Wetterstation am Schacht Konrad 1 für die Jahre 1985 bis 1990. Salzgitter, Februar 1994

BfS-ET-22/95

Brennecke, P.; Hollmann, A. Anfall radioaktiver Abfälle in der Bundesrepublik Deutschland. Abfallerhebung für das Jahr 1993. Salzgitter, Mai 1995

BfS-ET-23/96

Brennecke, P.; Hollmann, A. Anfall radioaktiver Abfälle in der Bundesrepublik Deutschland. Abfallerhebung für das Jahr 1994. Salzgitter, September 1996

BfS-ET-24/97

Heimlich, F.H. (Hrsg.)

Mesungen im Neutronen- und Gamma-Strahlungsfeld eines beladenen Castor-IIa-Behälters im Transportbehälterlager Gorleben und Vergleich der Meßergebnisse für Neutronen mit Monte-Carlo-Rechnungen.

Salzgitter, Januar 1997

BfS-ET-25/97

Brennecke, P.; Hollmann, A. Anfall radioaktiver Abfälle in der Bundesrepublik Deutschland. Abfallerhebung für das Jahr 1995. Salzgitter, Januar 1997

BfS-ET-26/98

Ehrlich, D.; Kunze, V.; Theis, P. Auswertung der meteorologischen Meßwerte der Wetterstation am Standort des Erkundungsbergwerks Gorleben für die Jahre 1988 bis 1996. Salzgitter, April 1998 BfS-ET-27/98

Ehrlich, D.; Kunze, V.; Theis, P.
Auswertung der meteorologischen Meßwerte der
Wetterstation am Standort des geplanten Endlagers
Konrad (Schacht 1) für die Jahre 1991 bis 1996
(Fortsetzung des Berichtes für die Jahre 1985 bis
1990).
Salzgitter, Juni 1998

BfS-ET-28/99

Brennecke, P.; Hollmann, A. Anfall radioaktiver Abfälle in der Bundesrepublik Deutschland. - Abfallerhebung für das Jahr 1996 -Salzgitter, Juli 1999

BfS-ET-29/99

Brennecke, P.; Hollmann, A. Anfall radioaktiver Abfälle in der Bundesrepublik Deutschland. - Abfallerhebung für das Jahr 1997. -Salzgitter, August 1999

BfS-ET-30/00

Brennecke, P.; Hollmann, A. Anfall radioaktiver Abfälle in der Bundesrepublik Deutschland. - Abfallerhebung für das Jahr 1998. -Salzgitter, Dezember 1999

BfS-ET-31/00
Börst, F.-M., Fasten, Ch.
Empfehlungen für die sichere Beförderung
von radioaktiven Stoffen
in der Fassung 1996
deutsche Übersetzung der Abschnitte I bis VIII der
"IAEA Safety Standards Series No. ST-1".
Salzgitter, Juli 2000

BfS-ET-32/00

Börst, F.-M.; Rimpler, A.; Scheib, H. Strahlungsmessungen an Transport- und Lager-behältern zur Beförderung von hochaktiven Glaskokillen aus der Wiederaufarbeitung und von bestrahlten Brennelementen. Salzgitter, Juli 2000

